

Konfigurasi sistem radio teresterial

A. Adya Pramudita & B. Syihabuddin

Catatan Ajar 6, TTH3G3 - Antena dan Propagasi

S1 Teknik Telekomunikasi, Fakultas Teknik Elektro, Universitas Telkom, 2020

Tujuan pembelajaran

- Peserta mampu merancang link komunikasi radio terrestrial mempertimbangkan konsep-konsep propagasi gelombang EM

Pokok bahasan

Mekanisme propagasi gelombang radio

Redaman bumi datar

Rugi-rugi difraksi

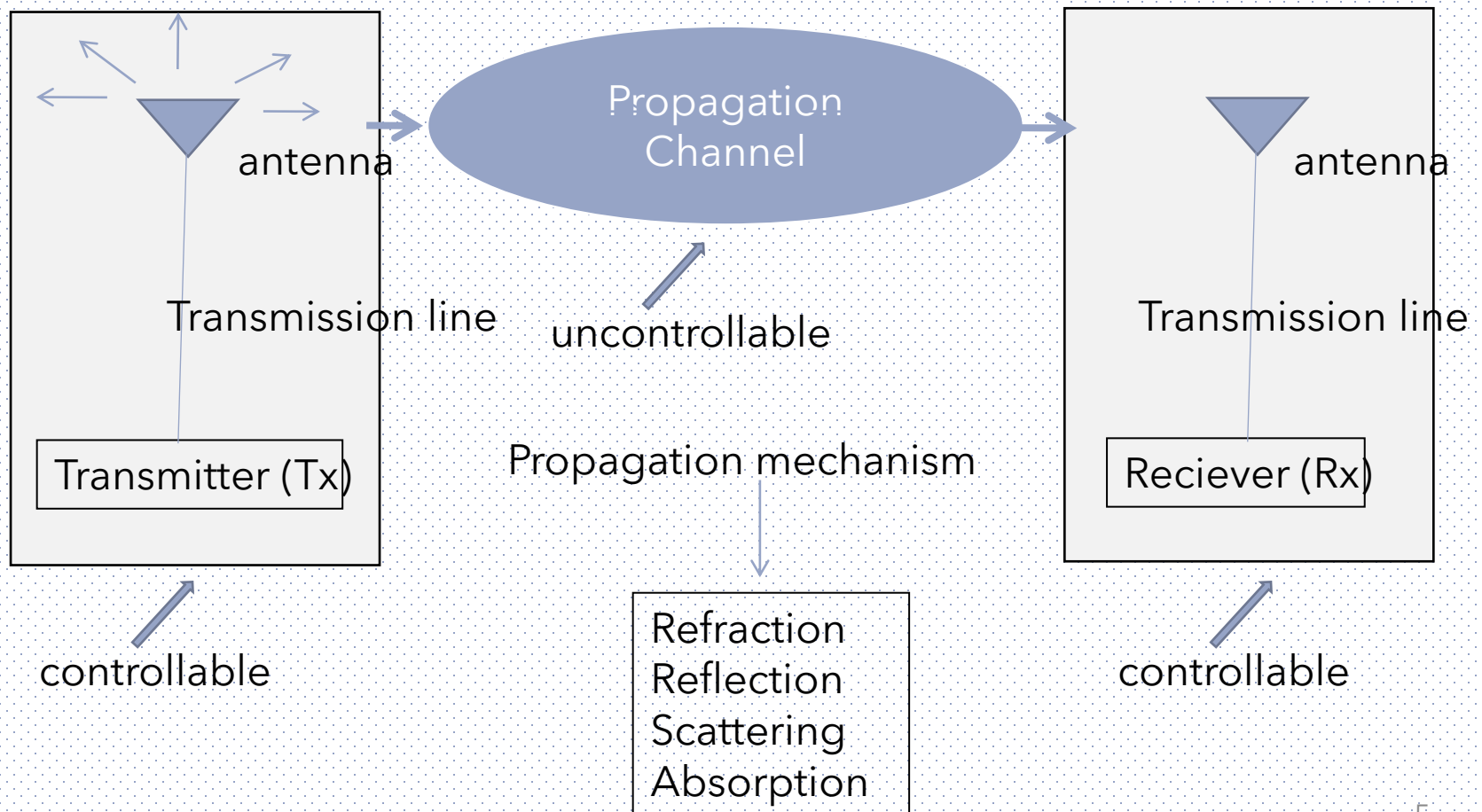
Fresnel zone

Link budget

Penentuan konfigurasi sistem radio teresterial

Mekanisme propagasi gelombang radio

Kanal propagasi



Kanal propagasi

- Propagation Channel : a system between Tx and RX that uncontrollable.
- Channel may causes distortion in transmit signal then potentially degrades the performance of communication system
- Channel modelling is needed to perform a prediction/estimation/anticipation in order to improve the system performance.

Kanal propagasi

- Propagation channel model is determined/depended by several factor :
 - particles condition in propagation medium.
Things or structures that may be as obstacle between Tx and Rx.
 - Frequency of EM wave.
 - User behaviour (fix/mobile)

Ilustrasi kanal propagasi



Location-1 : direct wave propagation is dominant component.
(Line of Sight propagation Model)

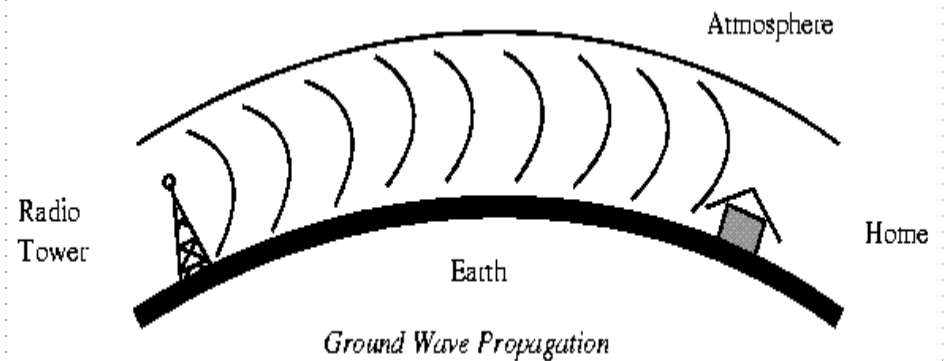
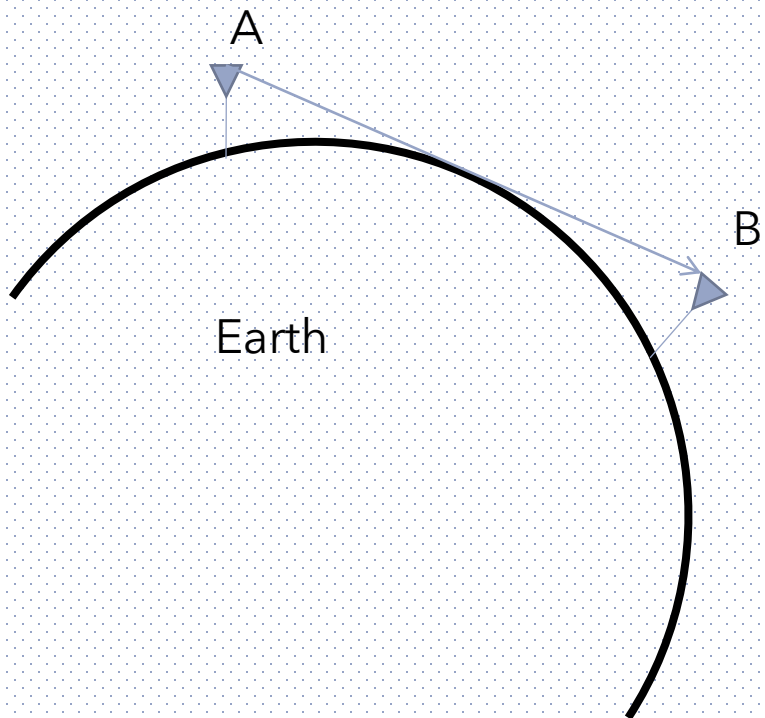
Location- 2 : reflected wave from ground surface must be considered .
(*Plane Earth Propagation Model*)

Location-3 : *Plane Earth Propagation Model* should be corrected by trees diffraction.

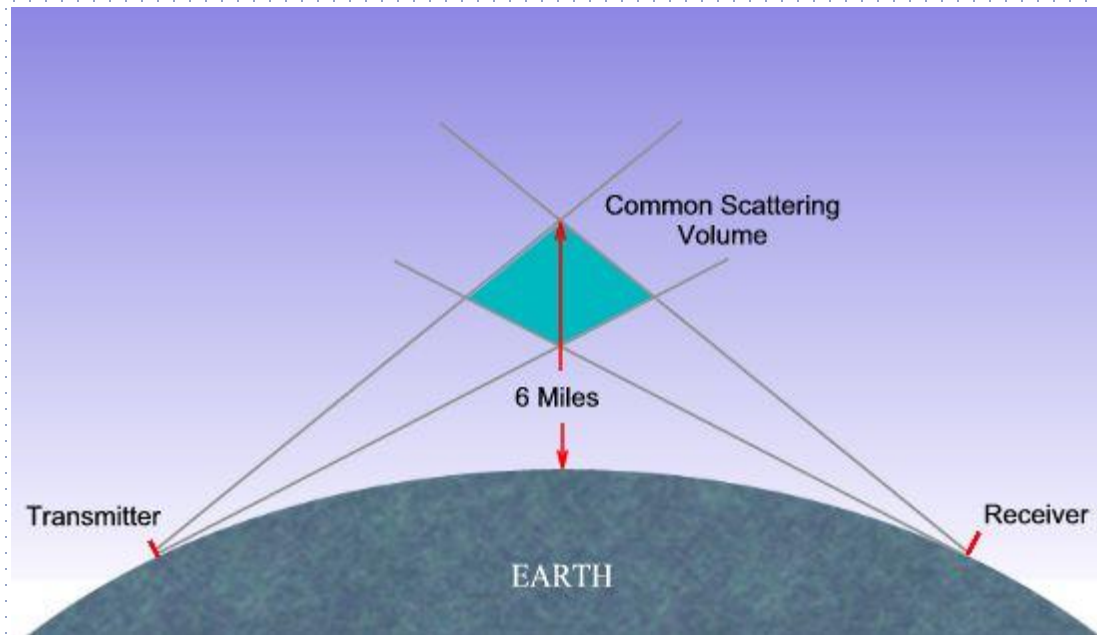
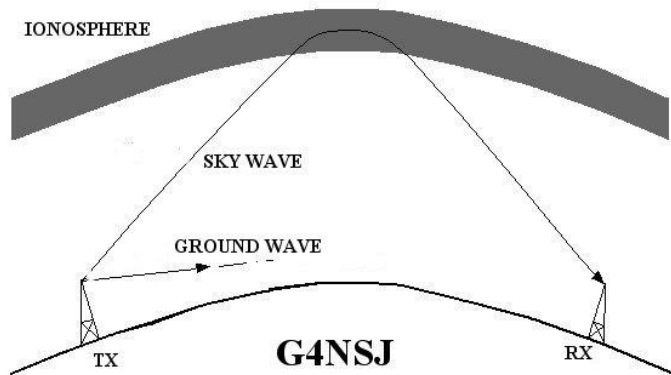
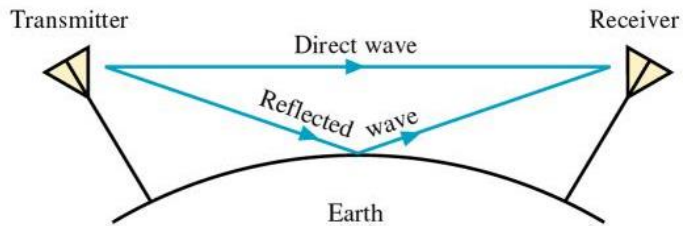
Location-4 : knife edge diffraction model

Location-5 : multiple knife edge diffraction

Mekanisme propagasi



Mekanisme propagasi



Spektrum frekuensi

Frequencies	Band	Characteristics	Services
3 Hz–30 kHz	ELF, VLF	High atmospheric noise, Earth-ionosphere waveguide modes, very inefficient antennas	Submarine, navigation, sonar, long-range navigation
30–300 kHz	LF	High atmospheric noise, Earth-ionosphere waveguide modes, absorption in the ionosphere	Long-range navigational beacons
0.3–3 MHz	MF	High atmospheric noise, good ground wave propagation, Earth magnetic field cyclotron noise	Navigation, maritime communication, AM broadcasting
3–30 MHz	HF	Moderate atmospheric noise, ionosphere reflections that provide long-distance links, affected by solar flux density	International shortwave broadcasting, ship-to-shore, telephone, telegraphy, long-range aircraft communication, amateur radio

Spektrum frekuensi

Frequencies	Band	Characteristics	Services
3–30 MHz	HF	Moderate atmospheric noise, ionosphere reflections that provide long-distance links, affected by solar flux density	International shortwave broadcasting, ship-to-shore, telephone, telegraphy, long-range aircraft communication, amateur radio
30–300 MHz	VHF	Some ionosphere reflections at the lower range, meteor scatter possible, normal propagation basically line of sight	Mobile, television, FM broadcasting, air-traffic control, radio navigation aids, land-mobile communications
0.3–3 GHz	UHF	Basically line-of-sight propagation, efficient portable antennas	Television, radar, land-mobile communications, satellite communications, Global Positioning Satellite (GPS), PCS, wireless local-area networking, mobile phones

Spektrum frekuensi

Frequencies	Band	Characteristics	Services
3–30 GHz	SHF	Line-of-sight propagation, atmospheric absorption at upper frequencies	Radar, microwave links, land-mobile communication, satellite communication, UWB, wireless LANs and PANs, fixed broadband, 3G PCS
30–300 GHz	EHF	Line-of-sight propagation, very subject to atmospheric absorption	Radar, secure and military communication, satellite links, mm-wave personal-area networking
300– 10^7 GHz	IR—optics	Line-of-sight propagation, very subject to atmospheric absorption	Optical communications, fiber optical links

Spektrum frekuensi

<i>Band Name</i>	<i>Frequency</i>
L band	1 - 2 GHz
S band	2 - 4 GHz
C band	4 – 8 GHz
X band	8 – 12 GHz
Ku band	12 – 18 GHz
K band	18 – 27 GHz
Ka band	27 – 40 GHz

Aspek propagasi

- Atmosphere Refraction Index
- Reflection from ground surface
- Fading
- Diffraction

Indeks bias atmosfer

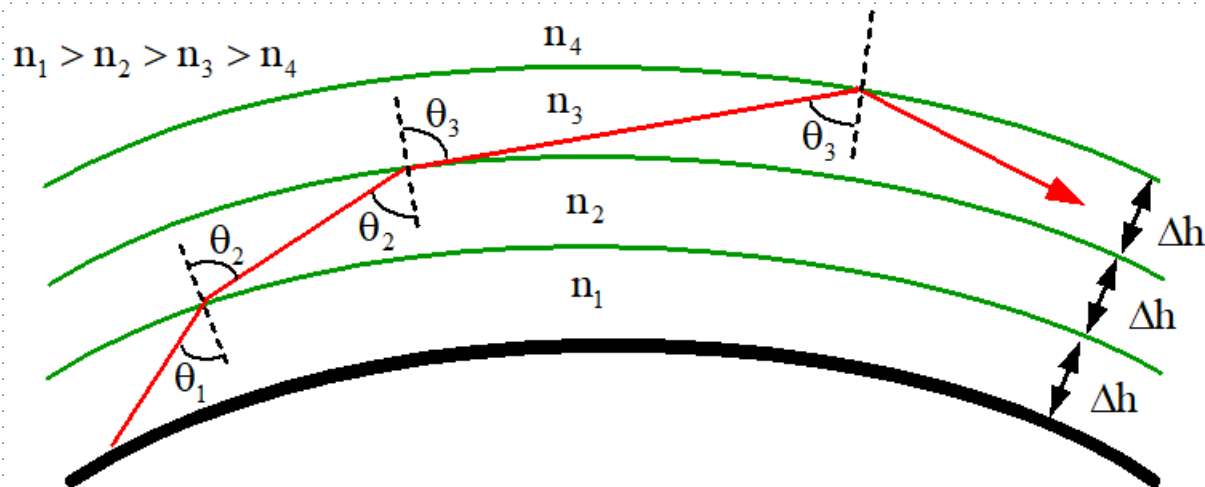
- Untuk $f > 30$ MHz pengaruh troposfer perlu diperhitungkan(sd ketinggian (h) 18 km di khatulistiwa, 11 km di kutup utara dan 9 km di kutup selatan.
- Udara $\mu_r = 1.0000004 \approx 1$, $\epsilon_r = 1.0006$ indeks bias $n = \sqrt{\epsilon_r} = 1.0003$. Namun n akan turun jika h semakin tinggi.
- Sehingga lintasan gelombang menjadi melengkung

Indeks bias atmosfer

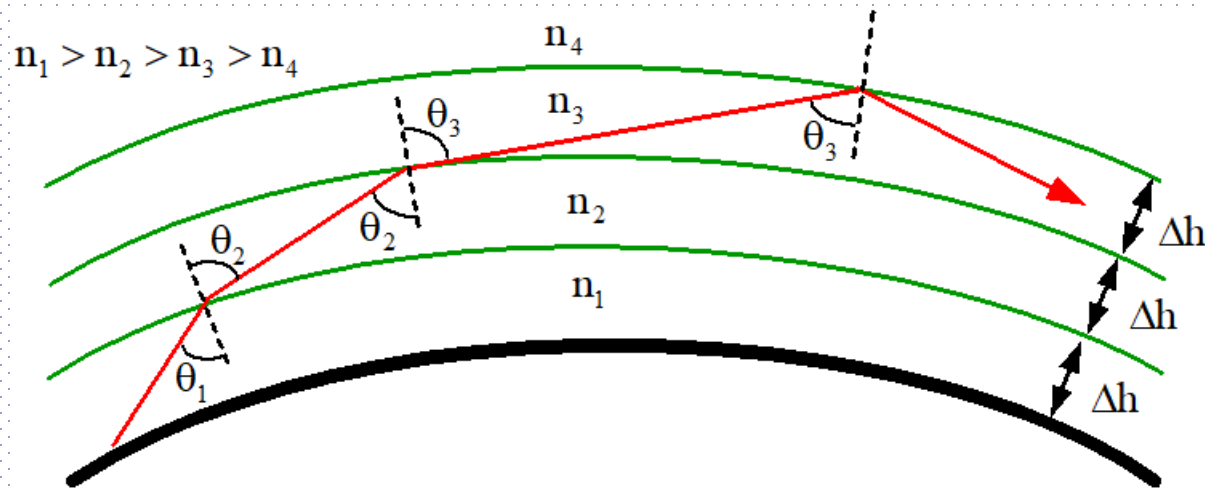
Analisis lintasan gel. Melengkung dilakukan dengan **Hukum Snellius** (**Kuliah Elmag Tel**)

$$n_1 \sin \theta_1 = n_2 \sin \theta_2 = n_3 \sin \theta_3 = \dots = n(h) \sin \theta(h) = \text{constant}$$

Jika $\Delta h \rightarrow 0$,
maka lengkungan lintasan pada gambar di bawah akan kontinyu



Indeks bias atmosfer



Jika n menurun dengan bertambahnya tinggi, lintasan GEM melengkung mendekati bumi

Jika n bertambah, lintasan GEM melengkung menjauhi bumi

Jika n tetap, lintasan GEM tetap 'lurus' (terhadap ketinggian)

Kadang-kadang GEM terperangkap di antara 2 lapisan (duct)

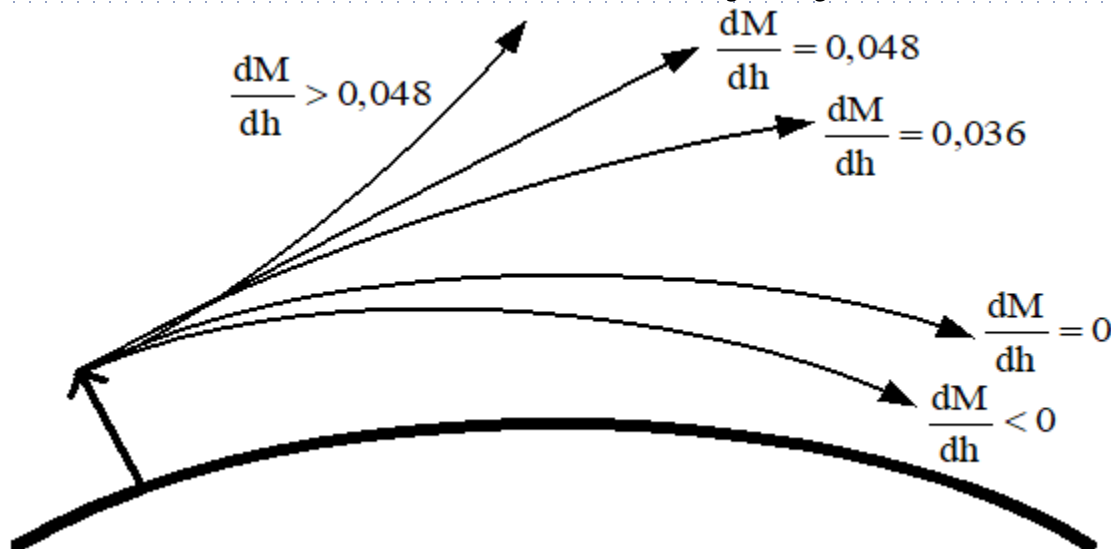
Indeks bias dimodifikasi

Indeks Bias Dimodifikasi (M)

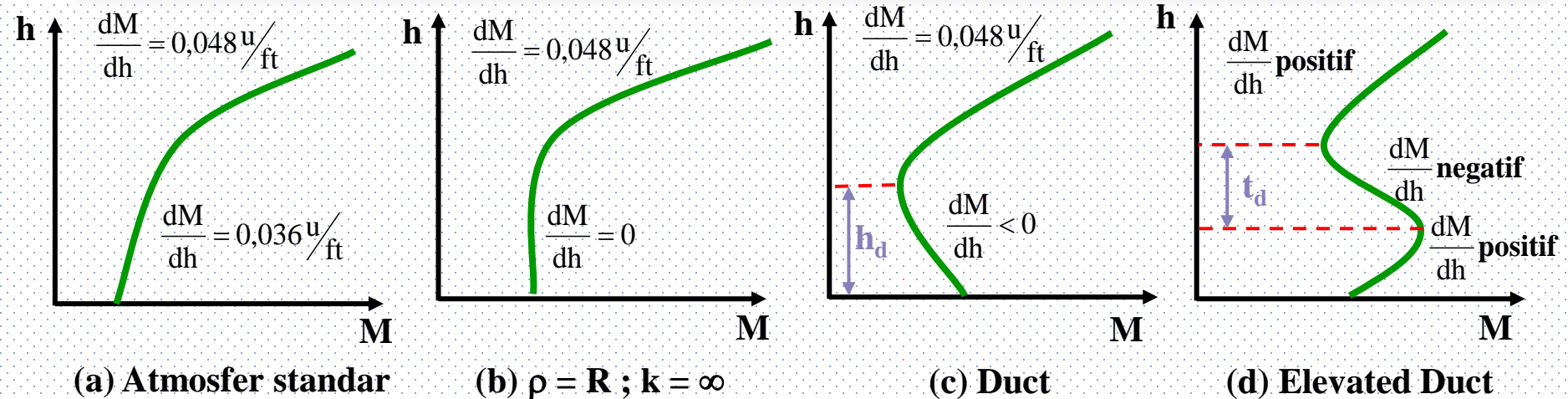
Analisis perubahan indeks bias terhadap ketinggian

$$M = \left(n - 1 + \frac{h}{a} \right) 10^6$$

n = indeks bias pada ketinggian $h = 0$
 h = ketinggian dari permukaan bumi
 a = jari-jari bumi = $6,37 \cdot 10^6$ m



Indeks bias dimodifikasi



Atmosfer Standar

Tujuan : Standarisasi sifat atmosfer dan memudahkan perhitungan

Atmosfer standar memenuhi persamaan berikut :

$$N = (n - 1)10^6 = 289 e^{(-0,136 h)}$$

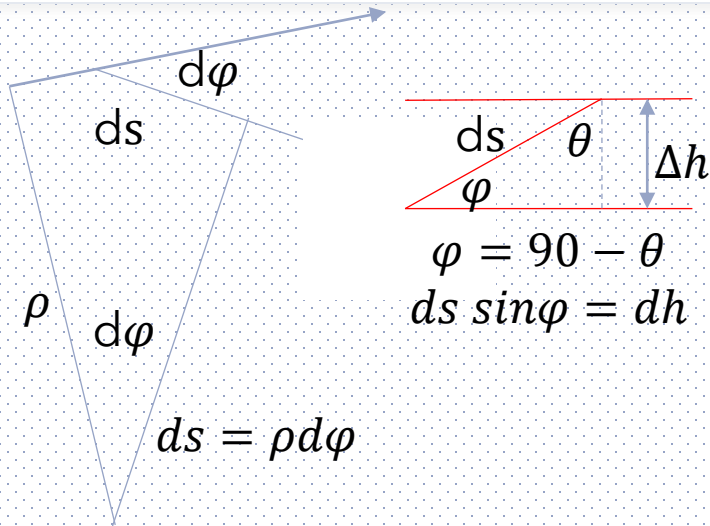
Dimana,

N = co indeks

h = ketinggian dalam km

n = indeks bias sebagai fungsi h

Jari-jari lengkung lintasan gelombang



$$\begin{aligned}
 n \sin \theta &= n(h) \sin \theta(h) \\
 n \cos \varphi &= n(h) \cos \varphi(h) \\
 \frac{d(n \cos \varphi)}{ds} &= \frac{d(n(h) \cos \varphi(h))}{ds} \\
 \cos \varphi \frac{dn}{ds} &= n \sin \varphi \frac{d\varphi}{ds} \\
 \frac{d\varphi}{ds} &= \frac{dn}{ds \sin \varphi} \frac{\cos \varphi}{\varphi}
 \end{aligned}$$

Horizontal $\varphi=0$ dan dn $n=1$

Untuk Atmosfer standar

$$(n-1)10^6 = 289 e^{(-0,136 h)}$$

$$\frac{dn}{dh} = d[(n-1)/dh] = d[10^{-6} 289 e^{(-0,136 h)}] / dh$$

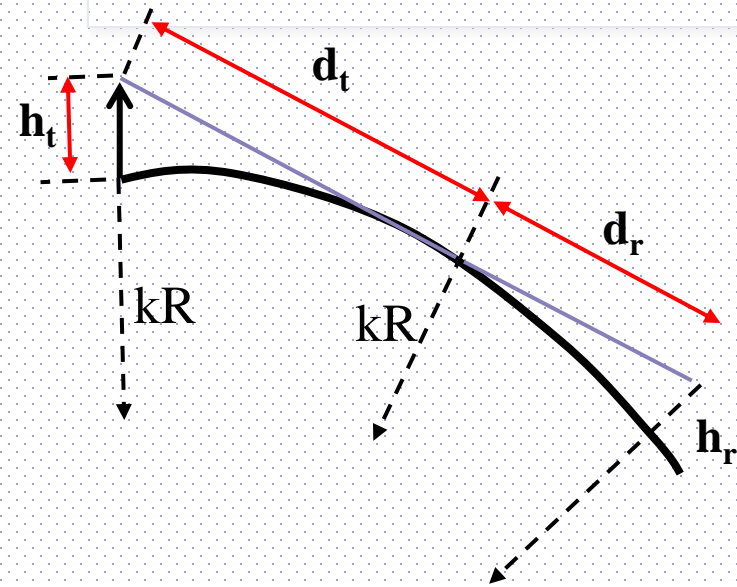
$$= -0.136 \times 289 \times 10^{-6} x e^{(-0,136 h)} = -39.3 \cdot 10^{-6} e^{(-0,136 h)}$$

untuk h kecil maka

$$\frac{dn}{dh} = -39.3 \cdot 10^{-6} \text{ sehingga } |\rho| = \frac{10^{-6}}{39.3} = 25500 \text{ km}$$

$$\begin{aligned}
 \frac{d\varphi}{ds} &= \frac{dn}{dh} \\
 \frac{dn}{dh} &= \frac{1}{\rho}
 \end{aligned}$$

Jarak horizon radio



$$(kR)^2 + d_t^2 = (kR + h_t)^2$$

- Didapatkan, untuk $h_t \ll R$

$$d_t = \sqrt{2kRh_t}$$

- Jika d_t dalam mil dan h_t dalam feet,

$$d_{t(mi)} = \sqrt{\frac{3}{2}k h_{t(ft)}}$$

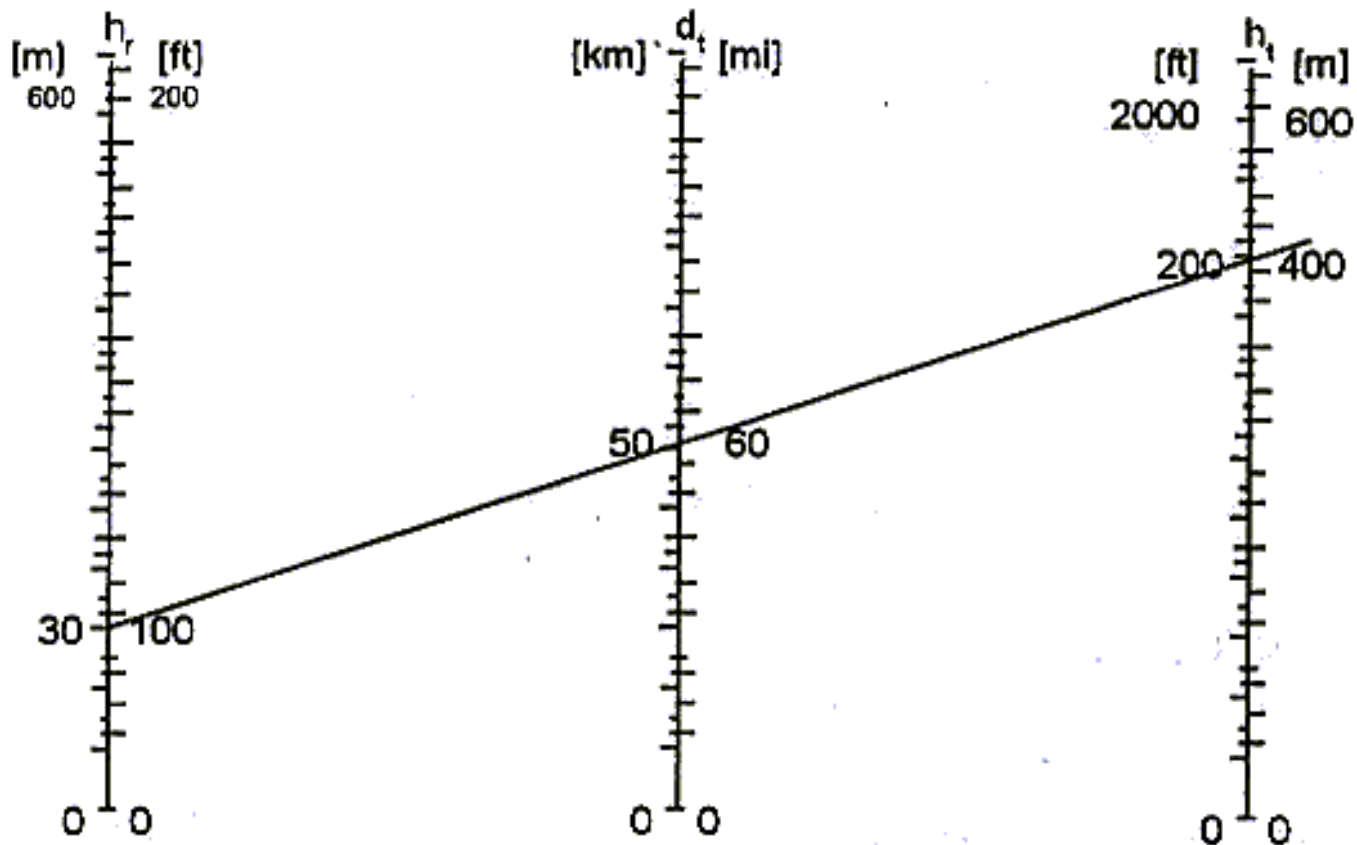
- Jika jarak horizon $R_x = d_r$, maka :

$$d_{tot} = d_t + d_r = \sqrt{2kRh_t} + \sqrt{2kRh_r}$$

Contoh : Atmosfer standar ($R=6370$, $k = 4/3$) didapatkan ,

Untuk $h_t = 100$ m dan $h_r = 1,5$ meter $\Rightarrow d_{tot} = \mathbf{46,2 \text{ km}}$

Nomogram



Jari-jari efektif bumi

Lengkung lintasan GEM ditransformasikan sebagai **Lintasan Lurus**

Lengkung muka bumi ditransformasikan sama, membentuk lengkungan baru dengan **Jari-Jari Efektif Bumi = kR**

$$R_{\text{eff}} = k R$$

R_{eff} = Jari-jari lengkung bumi hasil transformasi

k = faktor kelengkungan bumi (dipengaruhi atmosfer)

dan,

$$k = \frac{1}{1 + R \frac{dn}{dh}}$$

atau

$$k = \frac{1}{1 - R \frac{\rho}{\rho_0}}$$

Jari-jari efektif bumi

- Untuk **atmosfer standar**, $R = 6370$ km dan $\rho = 25000$ km (perhitungan sebelumnya), didapatkan :

$$k = \frac{1}{1 - \frac{R}{\rho}} = \frac{1}{1 - \frac{6370}{25000}} \approx \frac{4}{3} \quad \text{sehingga} \quad R_{\text{eff}} = k R = \frac{4}{3} 6370 = \mathbf{8500 \text{ km}}$$

Refleksi permukaan bumi

- Karakteristik propagasi gelombang tergantung kepada impedansi intrinsik medium
- Refleksi tergantung kepada **sifat bahan** yang dirambati gelombang dan **polarisasi** gelombang
- **Koefisien refleksi** dinyatakan sbb :

$$\bar{R}_{EH} = \frac{\sin \varphi - \sqrt{\bar{n}^2 - \cos^2 \varphi}}{\sin \varphi + \sqrt{\bar{n}^2 - \cos^2 \varphi}}$$

(Polarisasi horisontal)

$$\bar{R}_{EV} = \frac{\bar{n}^2 \sin \varphi - \sqrt{\bar{n}^2 - \cos^2 \varphi}}{\bar{n}^2 \sin \varphi + \sqrt{\bar{n}^2 - \cos^2 \varphi}}$$

(Polarisasi vertikal)

Dimana,

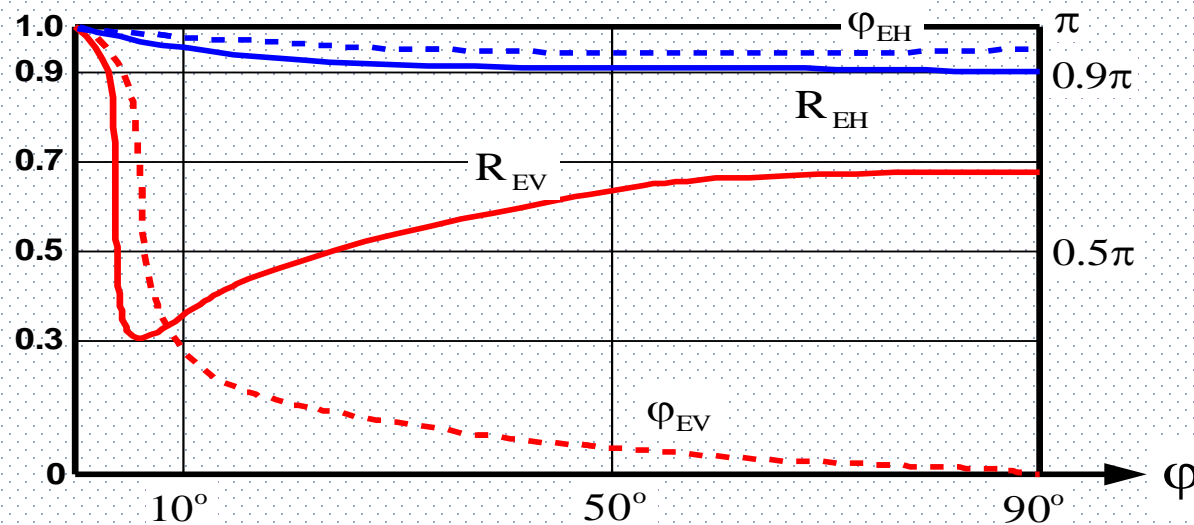
$\varphi = 90^\circ - \theta$ = sudut vertikal

θ = sudut datang = sudut pantul

$$\bar{n}^2 = \frac{\epsilon_{r2} - j \frac{\sigma_2}{\omega \epsilon_0}}{\epsilon_{r1}} = \text{indeks bias relatif}$$

Refleksi permukaan bumi

- Untuk keadaan permukaan bumi dan keadaan udara tertentu, maka grafik koefisien pantul dan sudut datang sebagai fungsi ϕ diberikan sebagai berikut

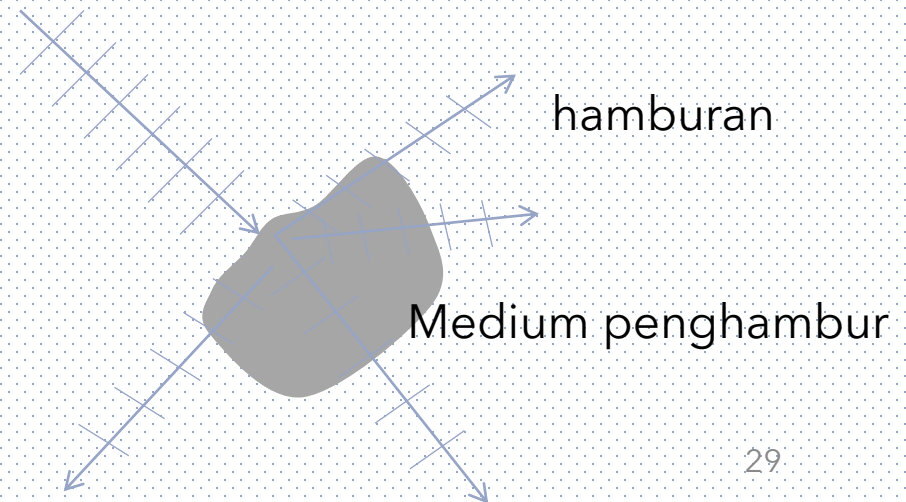
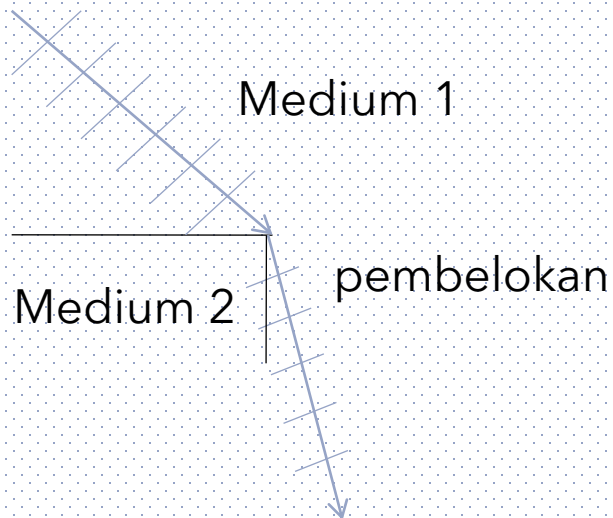
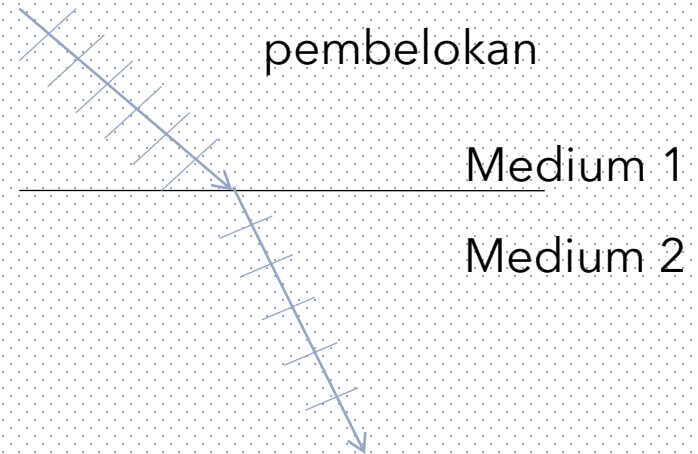
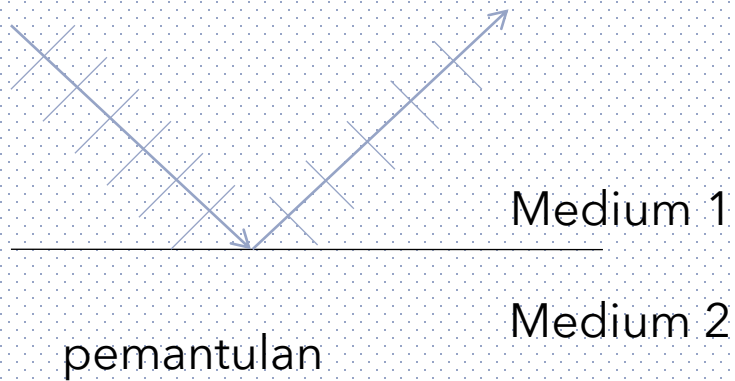


Karena jarak Tx-Rx \gg tinggi menara, maka biasa dianggap $R_{EV} = R_{EH} = 1$, dan $\phi_R = \pi$ atau 180°)

- Untuk suatu kondisi, sudut ϕ untuk koefisien pantul minimum disebut sebagai sudut Brewster

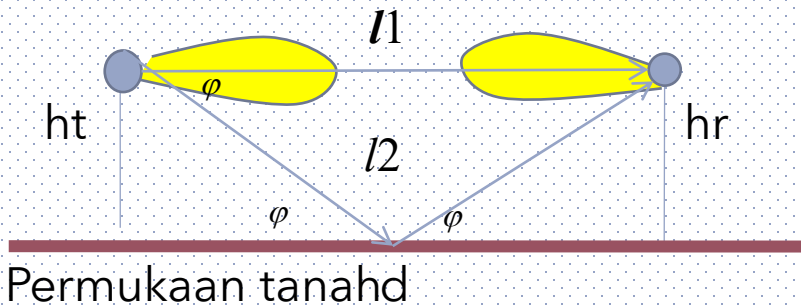
Redaman bumi datar

Mekanisme perambatan GEM



Redaman bumi datar

Polaradiasi antenna



Gelombang ruang terdiri 2 komponen, yaitu gelombang langsung dan gelombang pantul. Nilai masing-masing ditentukan koefisien refleksi permukaan tanah dan polaradiasi antenna.

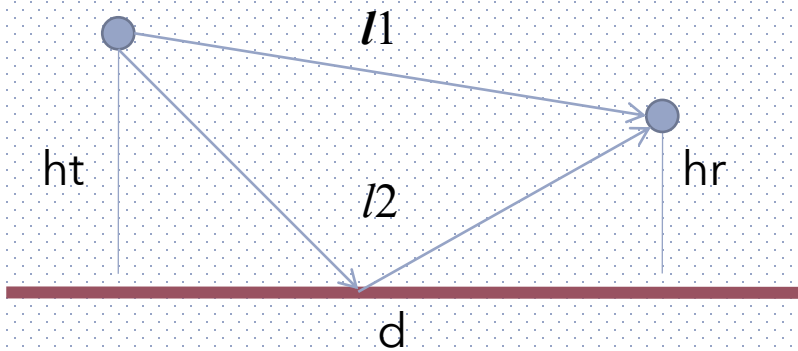
$$G_A = 40 \text{ dB} \Rightarrow \text{beamwidth} : \theta_1 = \phi_1 = \sqrt{\frac{4\pi}{10^4}} \approx 2,1^\circ$$

$$h_t = h_r = 50 \text{ m} ; d = 25 \text{ km} \Rightarrow \text{sudut } \phi \approx \tan^{-1}\left(\frac{50}{12 \cdot 10^3}\right) \approx 0,12^\circ$$

Besar koefisien pantul permukaan tanah mendekati 1 dengan bergeser fasa 180 derajat, E pada arah langsung dan pantul hampir sama besar.

Interferensi destruktif

Redaman propagasi bumi datar



$$l_1 = \sqrt{d^2 + (h_t - h_r)^2} \approx d \left(1 + 0.5 \left(\frac{h_t - h_r}{d} \right)^2 \right)$$

$$l_2 = \sqrt{d^2 + (h_t + h_r)^2} \approx d \left(1 + 0.5 \left(\frac{h_t + h_r}{d} \right)^2 \right)$$

$$\Delta l = l_2 - l_1 = \frac{2h_t h_r}{d}$$

$$d \gg h_t$$

$$\varphi \approx 0 \quad \text{maka } R_{EV} \& R_{EH} = 1e^{j\pi}$$

$$E_t = E_l + E_l e^{j\pi} e^{j(\frac{2\pi}{\lambda} \Delta l)} = E_l (1 + e^{j(\pi + \frac{2\pi}{\lambda} \Delta l)})$$

$$1 + e^{j\psi} = e^{j\psi/2} (e^{-j\psi/2} + e^{j\psi/2}) = 2 \cos \frac{\psi}{2} e^{j\psi/2}$$

$$E_t = E_l (1 + e^{j(\pi + \frac{2\pi}{\lambda} \Delta l)}) = 2E_l \left(e^{j(\frac{\pi}{2} + \frac{\pi}{\lambda} \frac{2h_t h_r}{d})} \right) \cos \left(\frac{\pi}{2} + \frac{\pi}{\lambda} \frac{2h_t h_r}{d} \right)$$

Redaman propagasi bumi datar

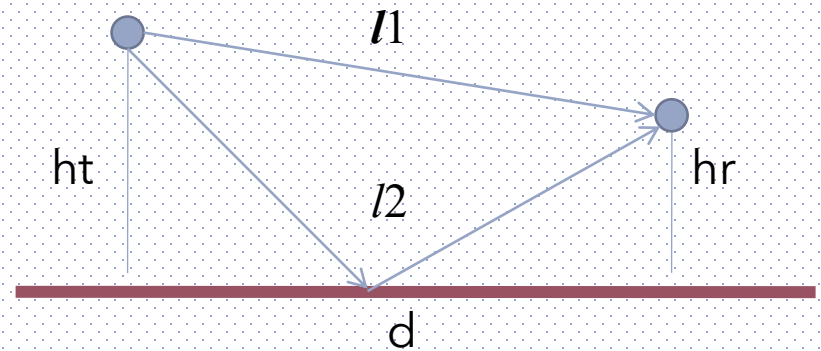
$$E_t = 2E_l \sin\left(\frac{\pi}{\lambda} \frac{2h_t h_r}{d}\right) \left(e^{j\left(\frac{\pi}{2} + \frac{\pi}{\lambda} \frac{2h_t h_r}{d}\right)} \right)$$

$$\frac{|E_t|}{|E_l|} = 2 \sin\left(\frac{\pi}{\lambda} \frac{2h_t h_r}{d}\right) \text{ untuk } d \gg ht$$

$$\frac{|E_t|}{|E_l|} = \frac{4\pi}{\lambda} \frac{h_t h_r}{d}$$

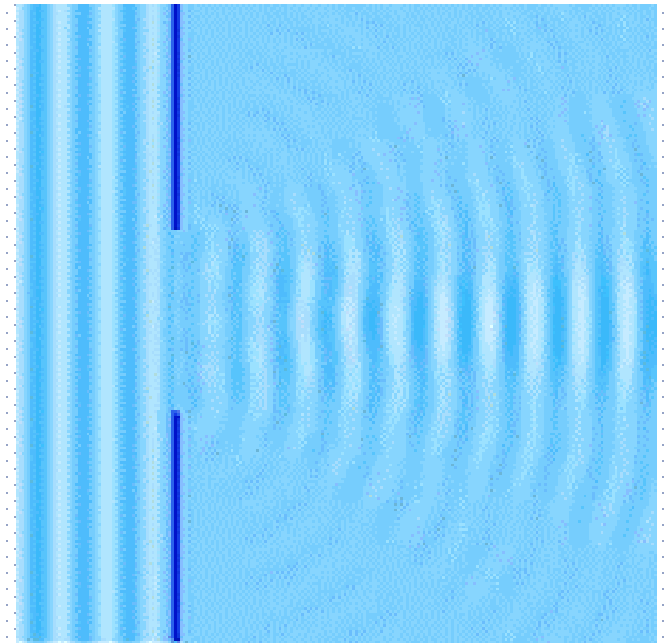
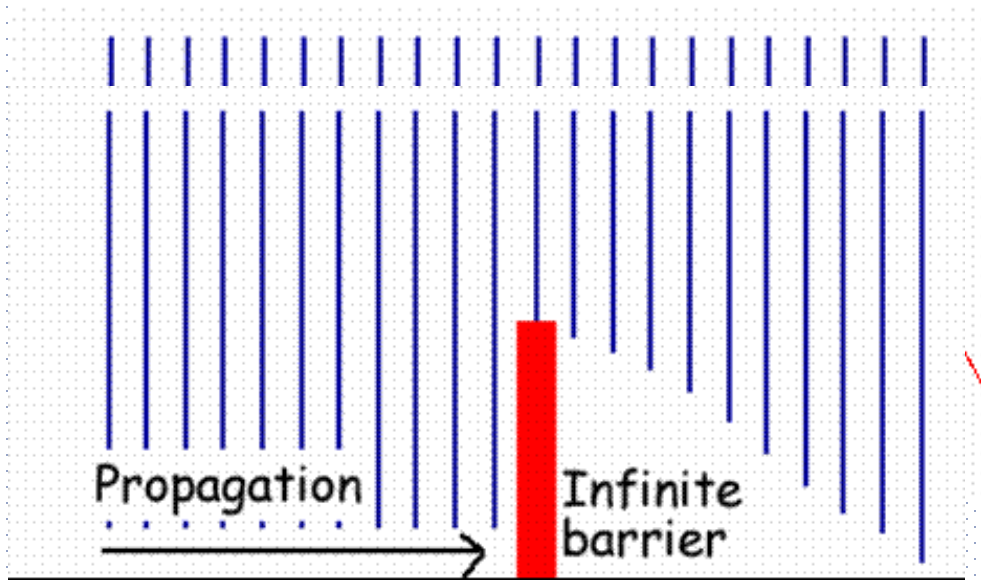
maka untuk redaman propagasi dikoreksi menjadi

$$L_{bumidatar} = L_{fs} - 20 \log\left(\frac{4\pi}{\lambda} \frac{h_t h_r}{d}\right)$$

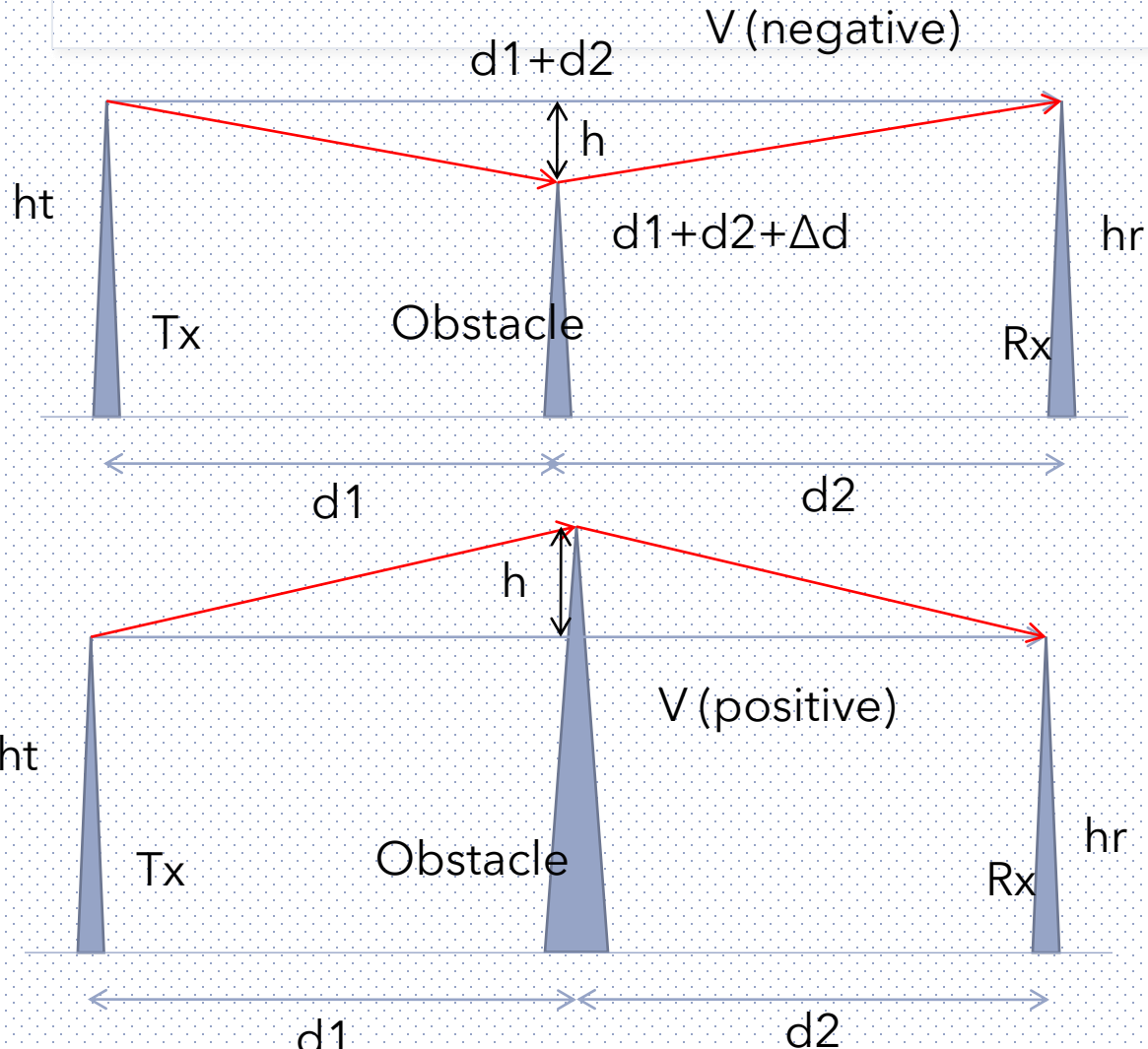


Rugi-rugi difraksi

Difraksi knife edge



Difraksi knife edge



$$\Delta d \approx h^2 \frac{d_1 + d_2}{2d_1 d_2}$$

$$|v| = h \sqrt{\frac{2(d_1 + d_2)}{\lambda d_1 d_2}}$$

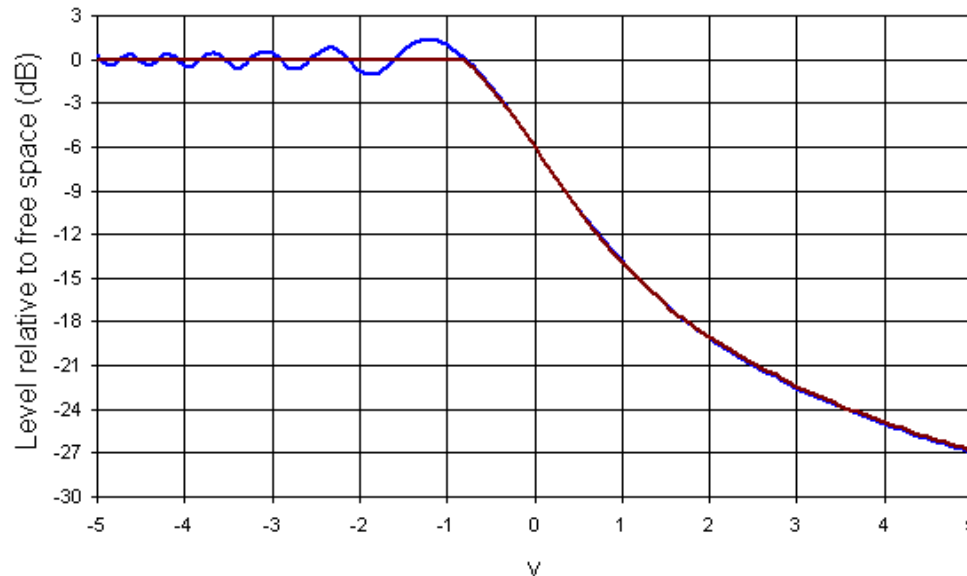
$$|v| = \sqrt{\frac{|\Delta h|}{\lambda}}$$

Redaman difraksi knife edge

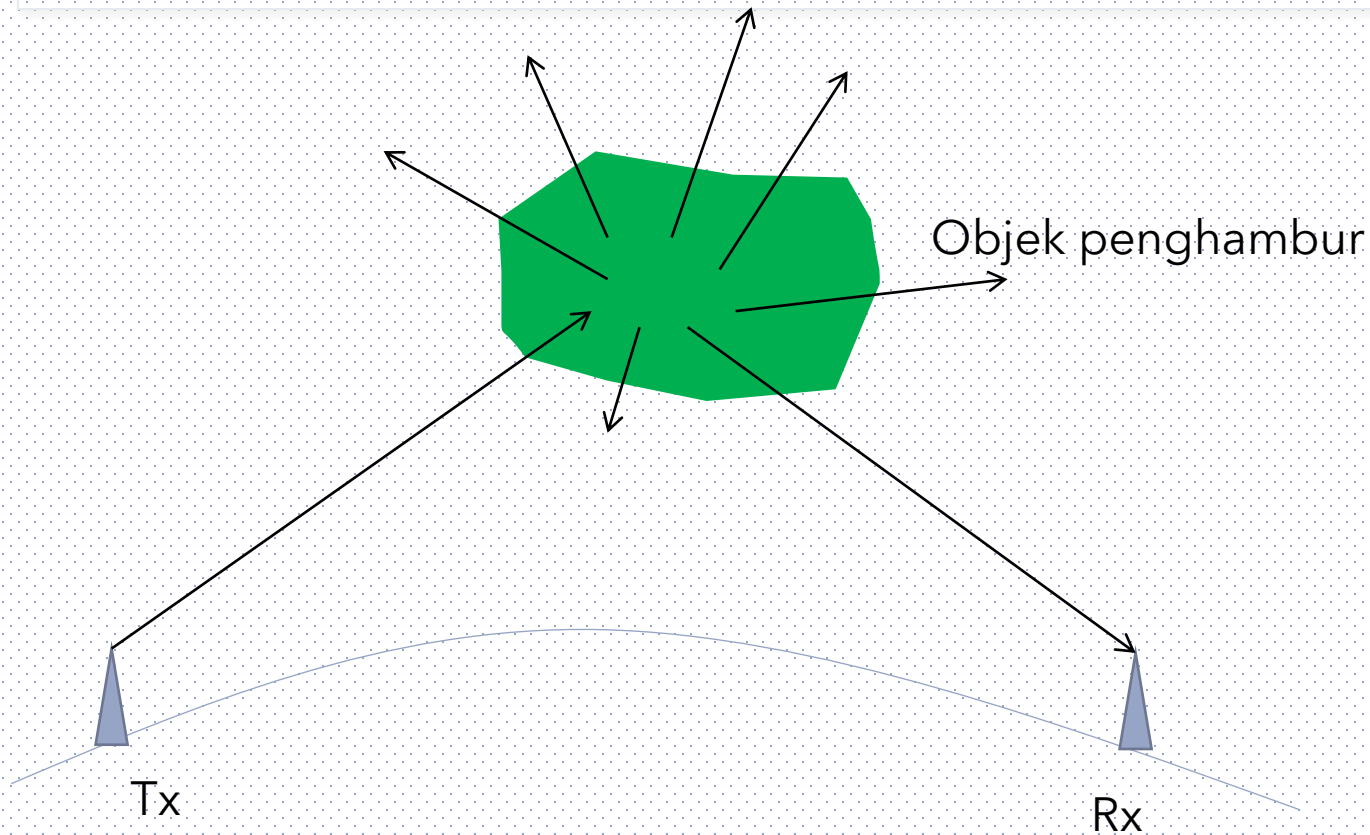
$$G_d(\text{dB}) = 20 \log|F(v)| \quad F(v) = \frac{(1+j)}{2} \int_v^{\infty} \exp\left(\frac{-j\pi t^2}{2}\right) dt$$

↙

$$J(v) = 6.9 + 20 \log(\sqrt{(v-0.1)^2 + 1} + v - 0.1)$$



Hamburan troposfer



Komunikasi radio memanfaatkan hamburan troposfer disebut Troposcatter 37

Troposcatters

- Lap. Troposfer membentuk gumpalan-gumpalan gas dengan diameter orde cm sd 50 m. Gumpalan-gumpalan tersebut memiliki indeks bias berbeda-beda dan bergerak acak.
 - Frekuensi 300-30000MHz (UHF/SHF)
 - Ketinggian 18 km (ekuator)
 - Jangkauan 200-800km
 - Fading besar

Fresnel zone

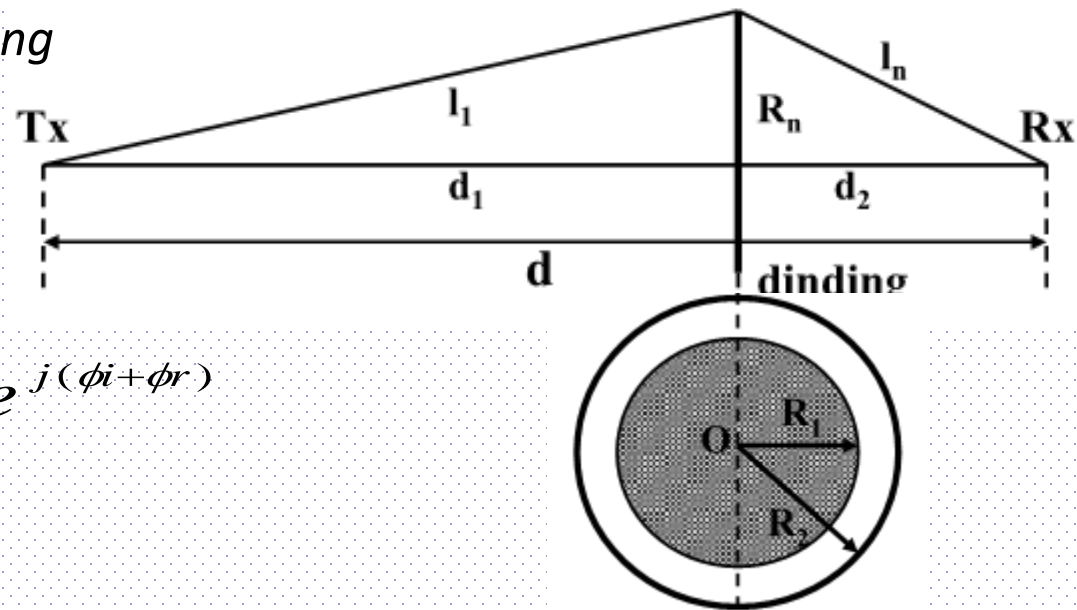
Daerah Fresnel

- Difraksi Fresnel : mula-mula menjelaskan difraksi cahaya melalui suatu celah kemudian berkembang untuk EM dan suara.
- Prinsip Huygens : setiap titik yang dilalui gelombang dapat dianggap sebagai sumber titik yang memancarkan gelombang.

Daerah Fresnel

Menentukan jari jari fresnel

Berdasar beda fasa antara
Gelombang langsung dan gelombang
Pantul.



$$E_t = E_i + E_r$$

$$E_t = E_o e^{j\phi_i} + |\Gamma| E_o e^{j(\phi_i + \phi_r)}$$

ϕ_r : beda fasa

Ketika jarak T_x ke $R_x \gg$ dari tinggi antenna
Maka komplemen sudut datang mendekati Nol.

Daerah Fresnel

- Karakteristik propagasi gelombang tergantung kepada impedansi intrinsik medium
- Refleksi tergantung kepada **sifat bahan** yang dirambati gelombang dan **polarisasi** gelombang
- **Koefisien refleksi** dinyatakan sbb :

$$\bar{R}_{EH} = \frac{\sin \varphi - \sqrt{\bar{n}^2 - \cos^2 \varphi}}{\sin \varphi + \sqrt{\bar{n}^2 - \cos^2 \varphi}}$$

(Polarisasi horisontal)

$$\bar{R}_{EV} = \frac{\bar{n}^2 \sin \varphi - \sqrt{\bar{n}^2 - \cos^2 \varphi}}{\bar{n}^2 \sin \varphi + \sqrt{\bar{n}^2 - \cos^2 \varphi}}$$

(Polarisasi vertikal)

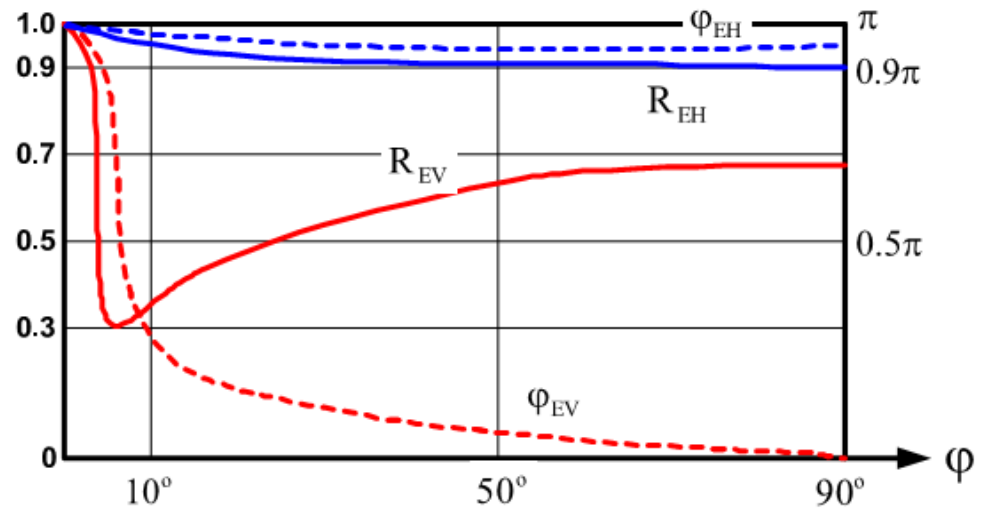
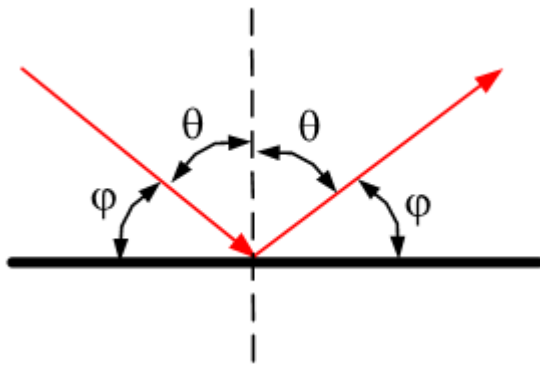
Dimana,

$\varphi = 90^\circ - \theta =$ sudut vertikal

$\theta =$ sudut datang = sudut pantul

$$\bar{n}^2 = \frac{\epsilon_{r2} - j \frac{\sigma_2}{\omega \epsilon_0}}{\epsilon_{r1}} = \text{indeks bias relatif}$$

Daerah Fresnel



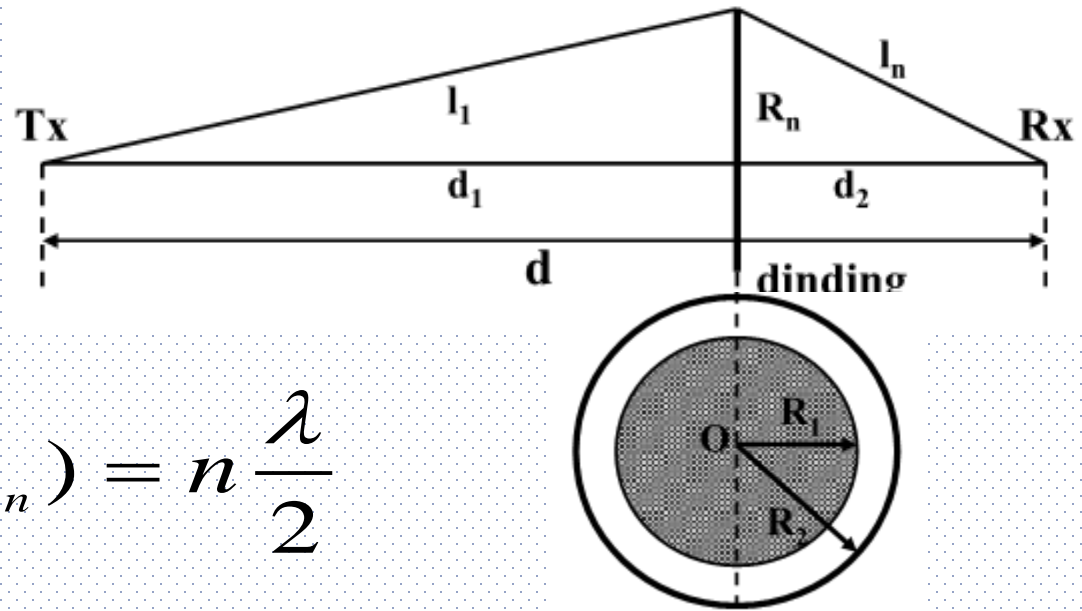
Daerah Fresnel

Ketika komplemen sudut datang $\varphi \approx 0$

Maka

$$\Gamma \approx 1$$

$$\phi_r = \pi$$



$$(l_1 + l_n) - (d_1 + d_n) = n \frac{\lambda}{2}$$

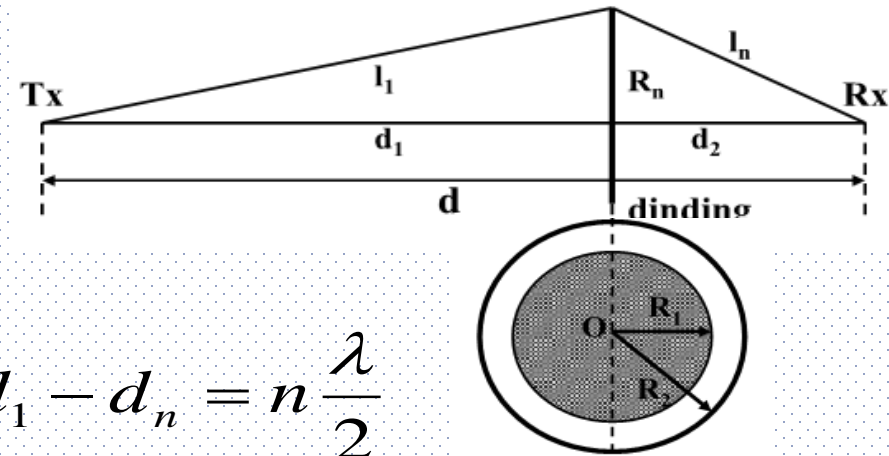
Daerah Fresnel

$$(l_1 + l_n) - (d_1 + d_n) = n \frac{\lambda}{2}$$

$$(\sqrt{d_1^2 + R_n^2} + \sqrt{d_n^2 + R_n^2}) - d_1 - d_n = n \frac{\lambda}{2}$$

$$d_1 \sqrt{1 + \left(\frac{R_n}{d_1}\right)^2} + d_n \sqrt{1 + \left(\frac{R_n}{d_n}\right)^2} - d_1 - d_n = n \frac{\lambda}{2} \quad \textbf{(a)}$$

$$d_1 \sqrt{1 + \left(\frac{R_n}{d_1}\right)^2} \approx d_1 \left(1 + \frac{1}{2} \left(\frac{R_n}{d_1}\right)^2\right)$$



Daerah Fresnel

$$d_1 \sqrt{1 + \left(\frac{R_n}{d_1}\right)^2} \approx d_1 \left(1 + \frac{1}{2} \left(\frac{R_n}{d_1}\right)^2\right)$$

$$\left(1 + \frac{1}{2} \left(\frac{R_n}{d_1}\right)^2\right)^2 = 1 + \left(\frac{R_n}{d_1}\right)^2 + \frac{1}{4} \left(\frac{R_n}{d_1}\right)^4 \approx 1 + \left(\frac{R_n}{d_1}\right)^2 \quad R_n < d_1$$

(a) menjadi

$$d_1 \left(1 + \frac{1}{2} \left(\frac{R_n}{d_1}\right)^2\right) + d_n \left(1 + \frac{1}{2} \left(\frac{R_n}{d_n}\right)^2\right) - d_1 - d_n = n \frac{\lambda}{2}$$

$$\frac{d_1}{2} \left(\frac{R_n}{d_1}\right)^2 + \frac{d_n}{2} \left(\frac{R_n}{d_n}\right)^2 = n \frac{\lambda}{2}$$

$$R_n^2 \left(\frac{1}{2d_1} + \frac{1}{2d_n}\right) = n \frac{\lambda}{2} \rightarrow R_n = \sqrt{\frac{n\lambda d_1 d_n}{d_1 + d_n}}$$

$$R_n = \sqrt{\frac{n\lambda d_1 d_n}{d}}$$

Arti fisis daerah Fresnel

- Medan pada F_1, F_3, F_5, \dots (ganjil) sefasa. Sefasa dengan F_1 , menghasilkan interferensi konstruktif
- Medan pada F_2, F_4, F_6, \dots (genap) sefasa. Berlawanan fasa dengan F_1 , menghasilkan interferensi destruktif.

Daerah Fresnel 1

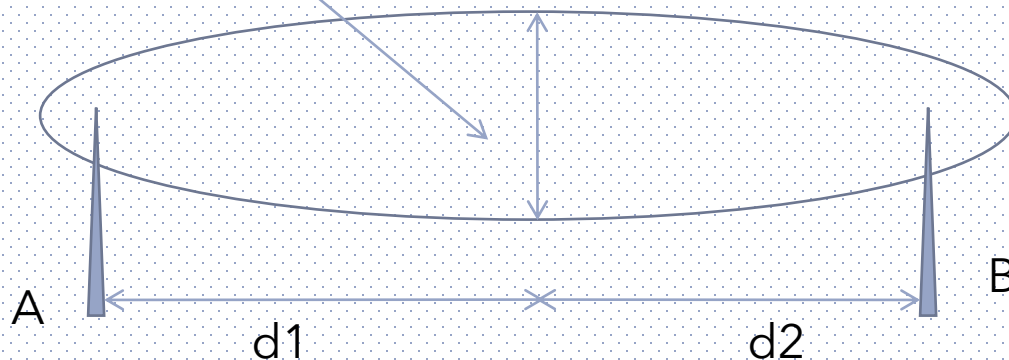
$$R_1 = 17.3 \sqrt{\frac{d_1 d_2}{d \cdot f_{\text{GHz}}}}$$

R_1 jari-jari fresnell (dalam meter)

d_1 , d_2 , dan d jarak (dalam kilometer)

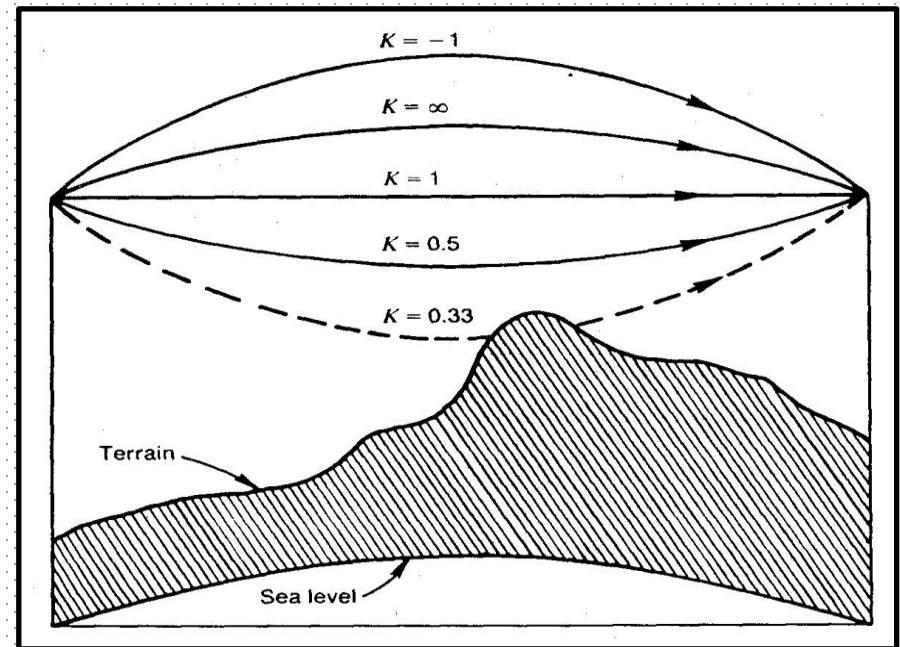
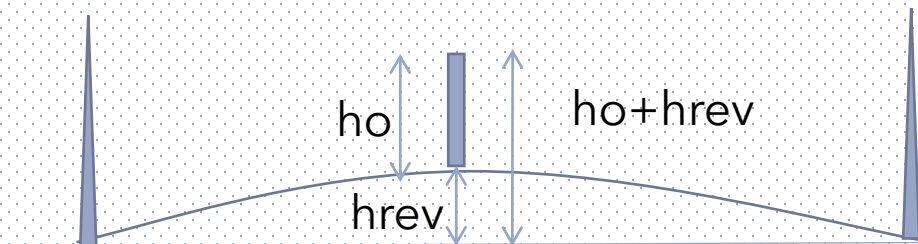
f frekuensi (dalam GHz)

Hubungan Line of Sight
Daerah fresnel 1 bebas rintangan



Koreksi ketinggian

$$h_{rev}(m) = \frac{0.079d_{1(km)}d_{2(km)}}{k}$$



Koreksi ketinggian

Pada lubang dengan **jari-jari = 0,6 jari-jari fresnell I**, maka kuat medan penerimaan **sama** dengan kuat medan penerimaan jika tanpa layar

Didefinisikan *Clearance Factor*

$$C_{RI} = \frac{\text{clearance}}{\text{first fresnell radius}} = \frac{C}{R_I}$$

Redaman lintasan (pathloss) dianggap seolah adalah redaman ruang bebas (free space loss), jika clearance factor = 0,6

$$L_{fs} \text{ (dB)} = 32,5 + 20\log f_{\text{(MHz)}} + 20\log d_{\text{(km)}}$$

$$L_{fs} \text{ (dB)} = 92,45 + 20\log f_{\text{(GHz)}} + 20\log d_{\text{(km)}}$$

Path loss akan berubah dari harga free space pathloss jika clearance factor $\neq 0,6$

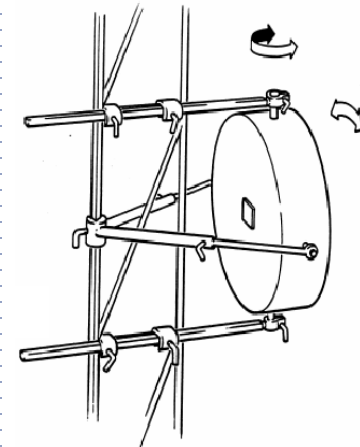
Clearance Factor = 0,6 sangat disukai dalam desain, karena $L_p = L_{fs}$ untuk jenis medium pemantul apapun

Link budget

Gelombang ruang bebas

- Gelombang ruang bebas disebut juga gelombang langsung.
- Digunakan untuk komunikasi satelit, hubungan LOS
- Tipe kanalnya memiliki fading yang sangat kecil. Fading margin tidak diperlukan.

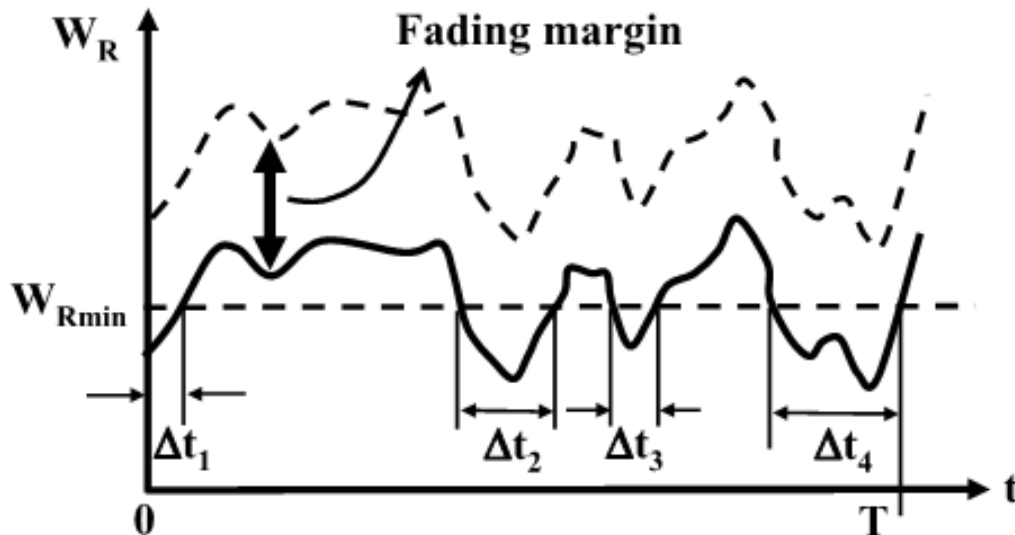
Gelombang ruang bebas



Fading

- Fading : Fluktuasi daya penerimaan.
- Teknik mengatasi Fading
 - Menambahkan fading margin
 - Menambahkan Automatic Gain Control
 - Diversity

Fading margin



Fading margin meningkatkan reliability

Fading margin	reliability
10 dB	90%
20 dB	99%
30 dB	99.9%
40 dB	99.99%

$$P_{\text{outage}} = 1 - \text{Reliability}$$

Reliability (keandalan)

$$\text{Reliability} = \frac{\text{Jumlah waktu dimana } W_R > W_{Rmin}}{\text{Waktu total pengamatan}}$$

Sebelum diberikan fading,

$$\text{Reliability} = \frac{T - (\Delta t_1 + \Delta t_2 + \Delta t_3 + \Delta t_4)}{T} \times 100\%$$

Fading margin

Rumus Barnett-Vignant untuk menghitung fading margin microwave link stasioner (LOS terrestrial) ...

$$F_m = 30\log_{10}(D) + 10\log_{10}(6ABf) - 10\log_{10}(1-R) - 70 \quad [\text{dB}]$$

D = distance (km)

f = frequency (GHz)

R = reliability expressed as a decimal (i.e. 99.9% = 0.999)

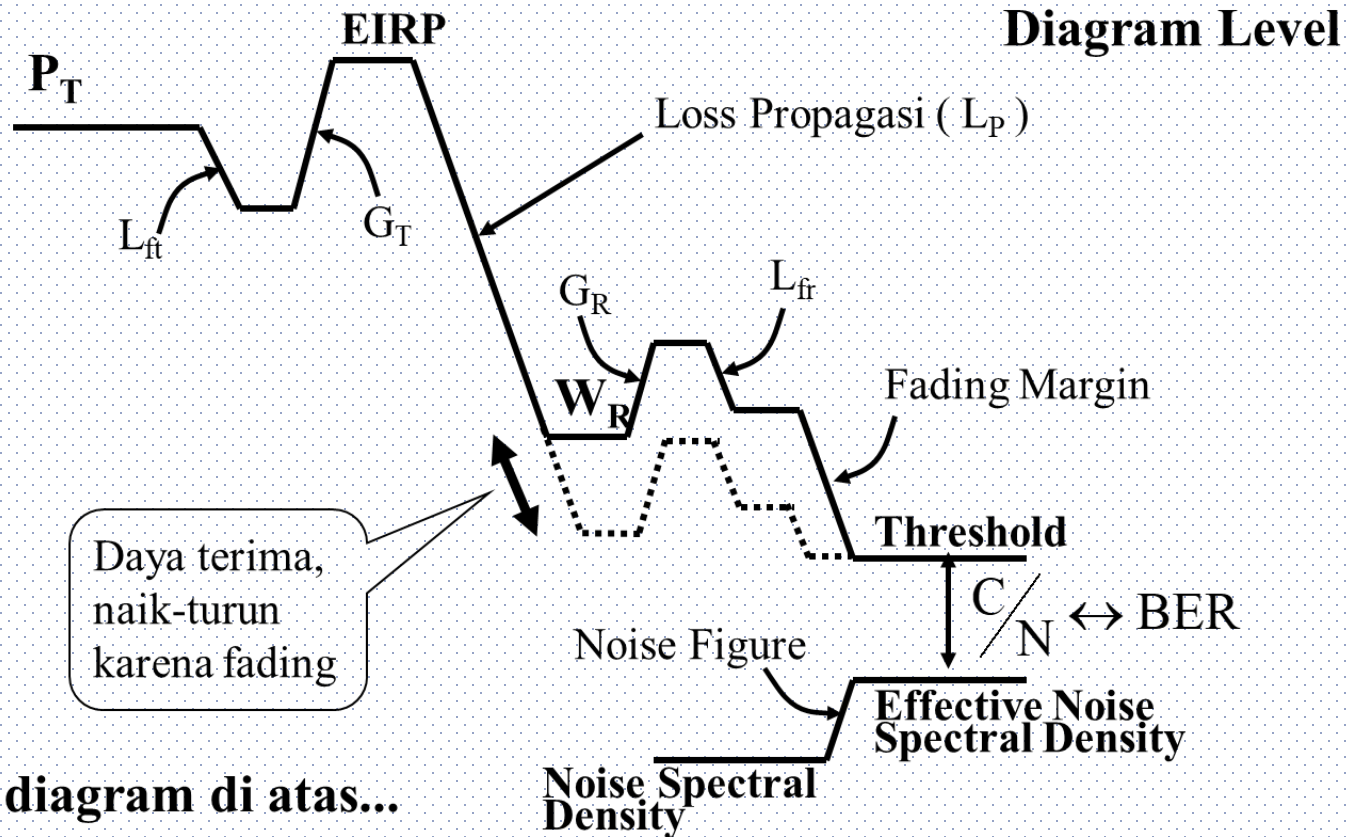
A = roughness factor (4 = smooth, 1 = avg, 0.25 = very rough)

B = v weather conversion factor (1 = worst - month case,
0.5 = hot humid areas, 0.25 = for average inland areas,
0.125 = very dry or mountainous areas)

Diversity

- Frequency diversity
- Time slot diversity
- Space diversity
- Polarization diversity

Link budget



Lihat diagram di atas...

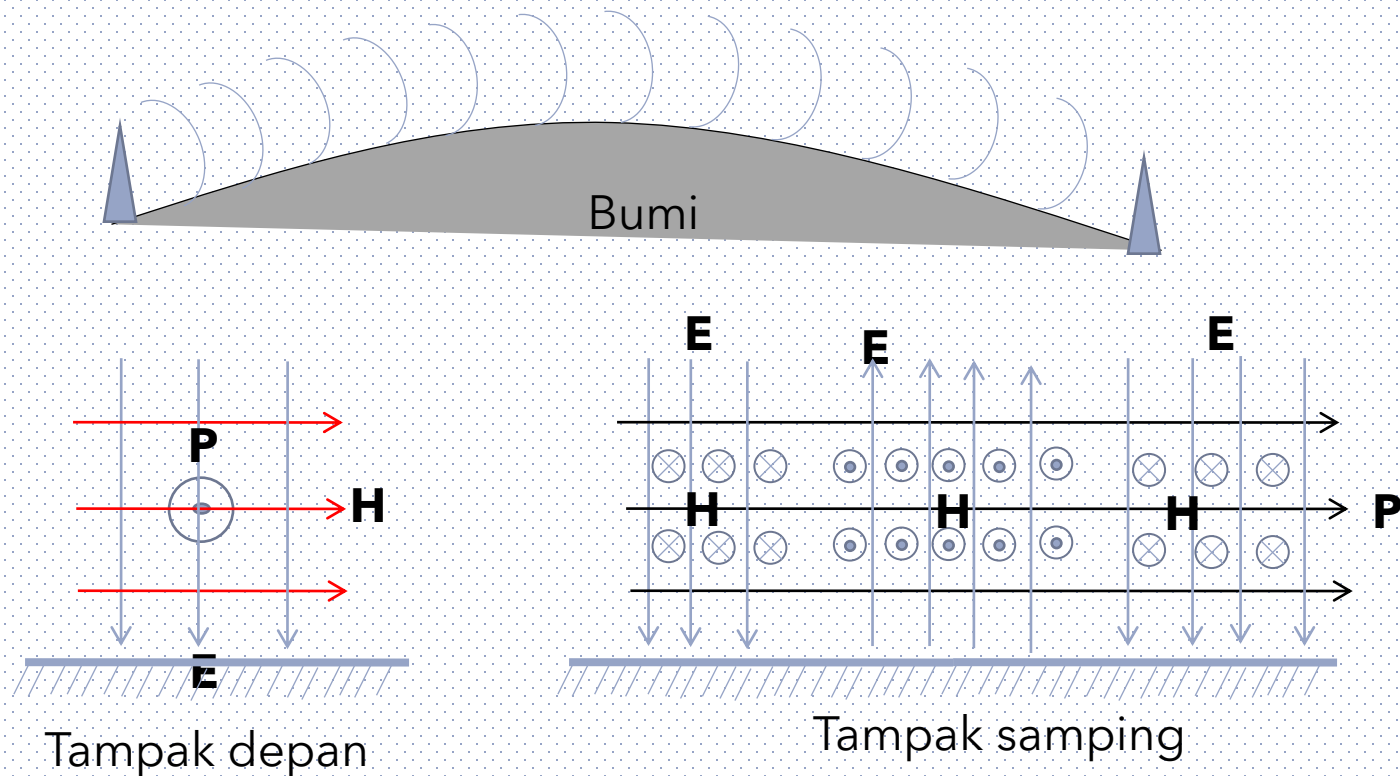
$$P_T = \text{Threshold} + FM + L_{fr} - G_R + L_P - G_T + L_{ft}$$

Penentuan konfigurasi sistem radio terrestrial

Komunikasi ground wave

- Komunikasi radio ground wave disebut juga surface wave.
- Range frekuensi : 3 kHz sd 300 kHz (VLF-LF)
- Merambat mengikuti permukaan bumi.
- Aplikasi : Navigasi, siaran AM, Deteksi ledakan nuklir.

Propagasi ground wave



Polarisasi Vertikal lebih efektif dirambatkan dan polarisasi horizontal seolah di-hubung singkat oleh bumi. (ingat tentang R_v dan R_h)

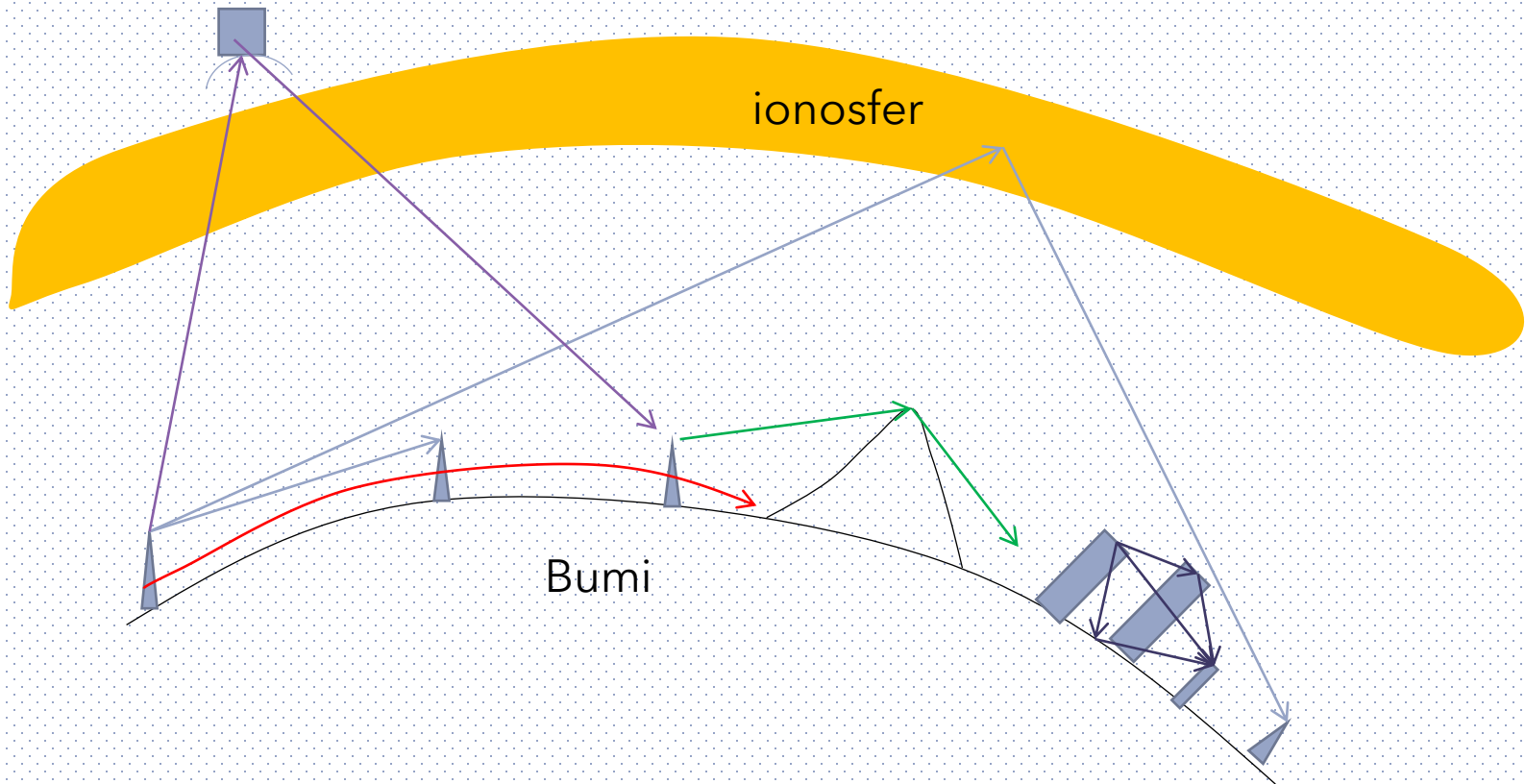
Pertimbangan frekuensi

- Frekuensi yang digunakan frekuensi rendah. Semakin tinggi frekuensi atenuasi yang diberikan oleh tanah makin besar (skin depth).
- Permukaan bumi tidak uniform (kondisi tanah bermacam-macam, rawa, laut, pegunungan, pemukiman dll). Skin depth tidak uniform.

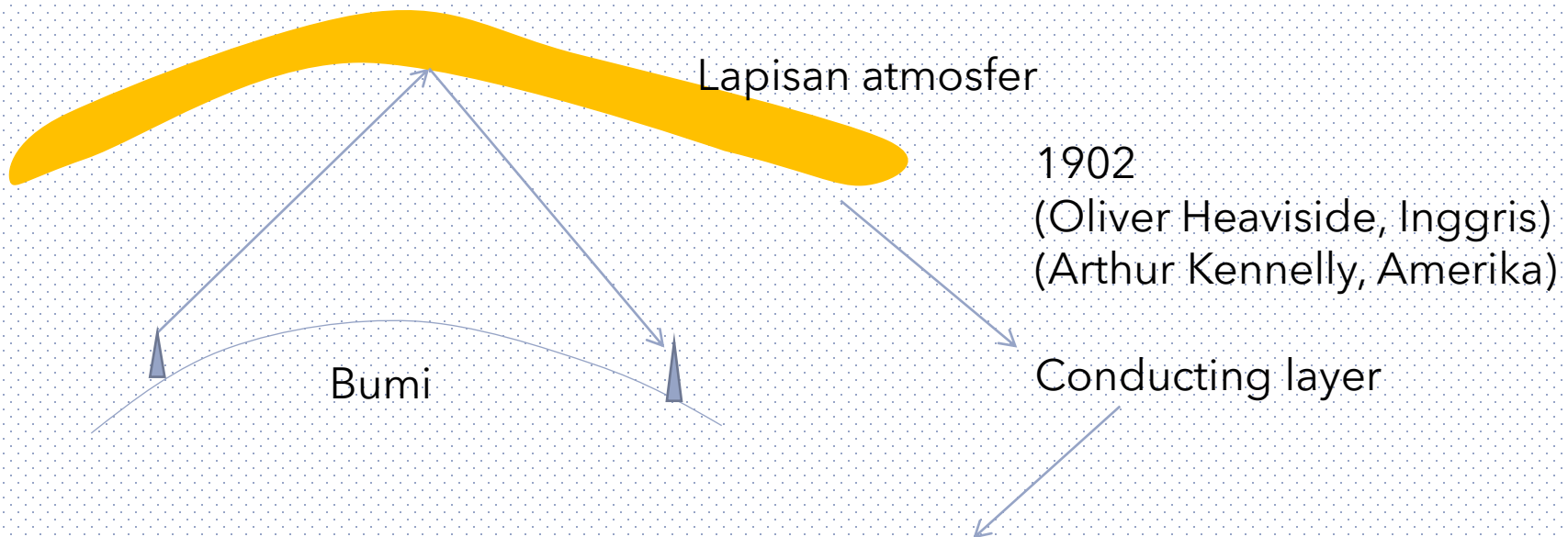
Pertimbangan antenna

- Karena Ground wave lebih efektif untuk polarisasi Vertikal maka antenna yang digunakan biasanya adalah antenna dengan polarisasi vertikal.

Propagasi gelombang langit



Conducting layer



1920an
Ionosonde : radar untuk mengamati
Lapisan ionosfer (range frekuensi 1-40MHz).
Pengaruh terhadap gelombang radio dapat
diamati.

Lapisan ionosfer

- **Lapisan D (50-90 km)**

- Konsentrasi elektron dan ion serta ketinggian tergantung elevasi matahari
- Hanya ada pada siang hari
- Menyerap frekuensi MF (0.3 – 3 MHz) dan parsial untuk HF

- **Lapisan E (90-140 km)**

- Konsentrasi elektron dan ion serta ketinggian tergantung elevasi matahari
- Untuk komunikasi HF jangkauan < 1500 km untuk siang dan >1500 km untuk malam.

- **Lapisan Es (90-140 km)**

- Kadang-kadang terjadi kemungkinan 50%.

Lapisan ionosfer

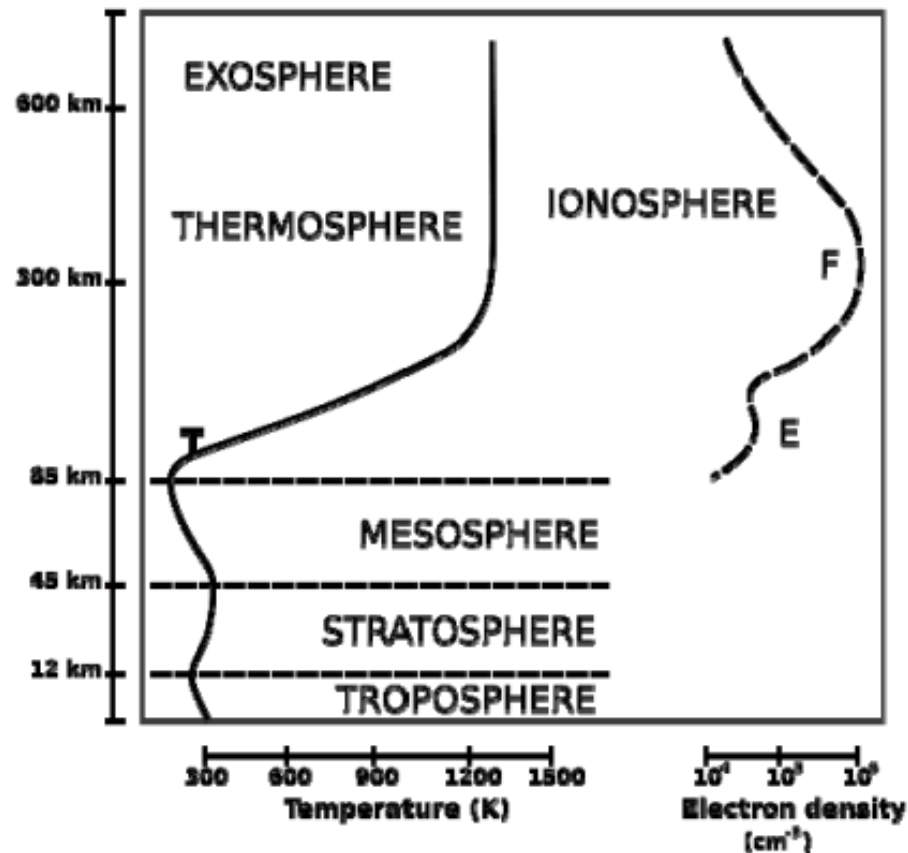
- **Lapisan F1 (140-210 km)**

- Konsentrasi elektron dan ion serta ketinggian tergantung elevasi matahari
- Hanya ada pada siang hari. Sering dipakai pada siang hari saja.

- **Lapisan F2 (>210 km)**

- Konsentrasi elektron dan ion serta ketinggian tidak tergantung elevasi matahari.
- Berubah menurut musim dan bintik matahari.

Lapisan ionosfer



Indeks bias ionosfer

$$n_i = \sqrt{\epsilon_r^*} = \sqrt{1 + \frac{Nq^2}{j\omega\epsilon_0 m(\nu + j\omega)}}$$

Dimana,

N = kepadatan ion (ion/ m^3)

m = massa partikel (ion)

q = muatan partikel

ν = jumlah benturan per detik

ϵ_r^* = konstanta kompleks permitivitas ionosfer

Indeks bias

$$n_i = \sqrt{1 - \left[\frac{f_c}{f} \right]^2} \quad \text{dimana} \quad f_c = \frac{1}{2\pi} \sqrt{\frac{N_{\max} q^2}{m\epsilon_0}} \quad f_c = \text{frekuensi kritis}$$

Ionosfer dapat dilihat sebagai lapisan dielektrik

Jika frekuensi makin tinggi maka indeks bias makin mendekati 1 sampai suatu saat gelombang diteruskan.

Indeks bias < 1 maka gelombang dibiaskan menjauhi normal ($f > f_c$).

Indeks bias ≈ 1 maka gelombang diteruskan ($f \gg f_c$)

Indeks bias bernilai imajiner maka gelombang dipantulkan ke bumi.

Indeks bias

$$\left. \begin{array}{l} m_e = 9,11 \cdot 10^{-31} \text{ kg} \\ q_e = 1,6 \cdot 10^{-19} \text{ coulomb} \\ \epsilon_0 = \frac{1}{36\pi} 10^{-8} \text{ F/m} \\ N_{\text{max}} \left(\frac{\text{elektron}}{\text{m}^3} \right) \end{array} \right\}$$

$$f_c \approx 9 \sqrt{N_{\text{max}}}$$

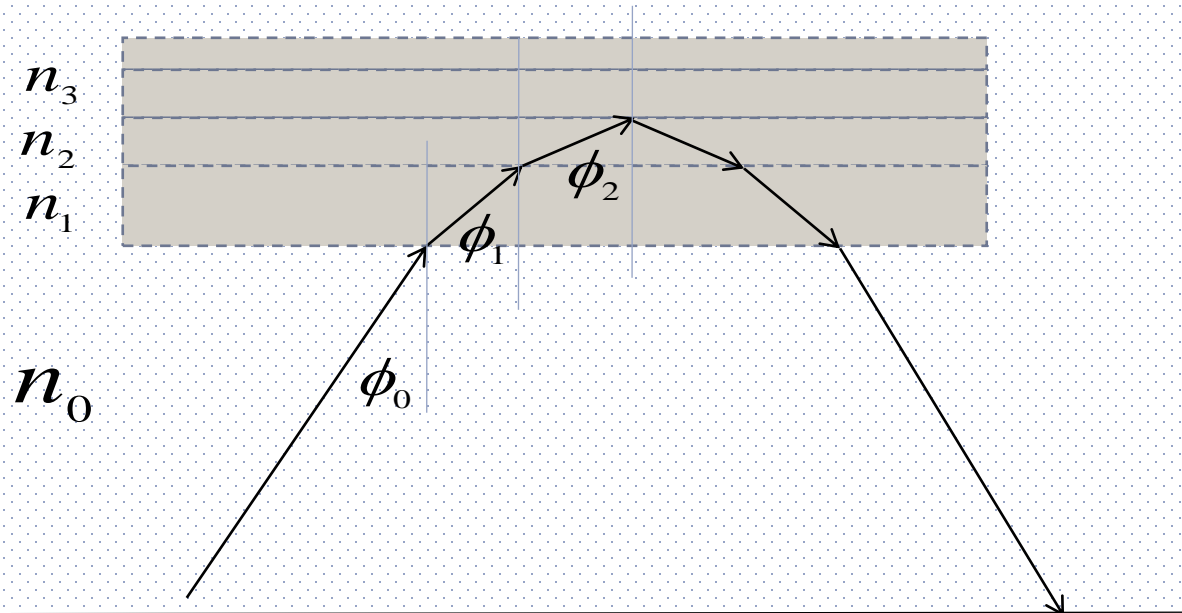
atau,

$$f_c \approx \sqrt{81 N_{\text{max}}}$$

$$n_0 \sin \phi_0 = n_1 \sin \phi_1$$

ketika $n_0 = 1$ dan $\phi_1 = 90^\circ$

$$\text{maka } \sin \phi_0 = n_1$$



Pemantulan ionosfer

$$n_1 = \sqrt{1 - \left(\frac{fc}{f}\right)^2}$$

$$\text{maka } \sin \phi_0 = n_1 = \sqrt{1 - \left(\frac{fc}{f}\right)^2}$$

$$\sin^2 \phi_0 = 1 - \left(\frac{f_c}{f}\right)^2$$

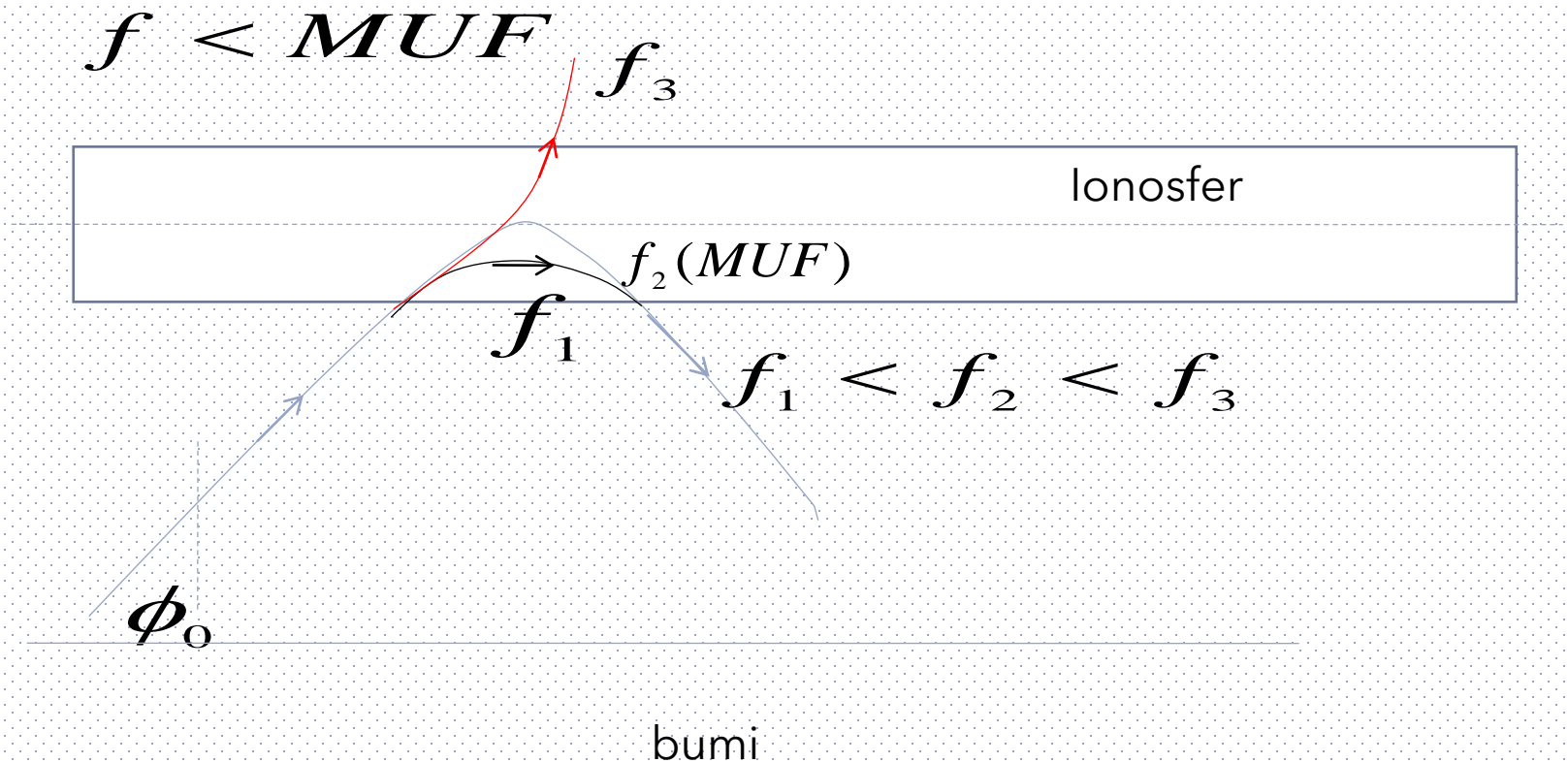
$$\left(\frac{f_c}{f}\right)^2 = 1 - \sin^2 \phi_0 = \cos^2 \phi_0$$

$$f = \frac{f_c}{\cos \phi_0} = f_c \sec \phi_0 \text{ dimana } f_c = \sqrt{81N_{\max}}$$

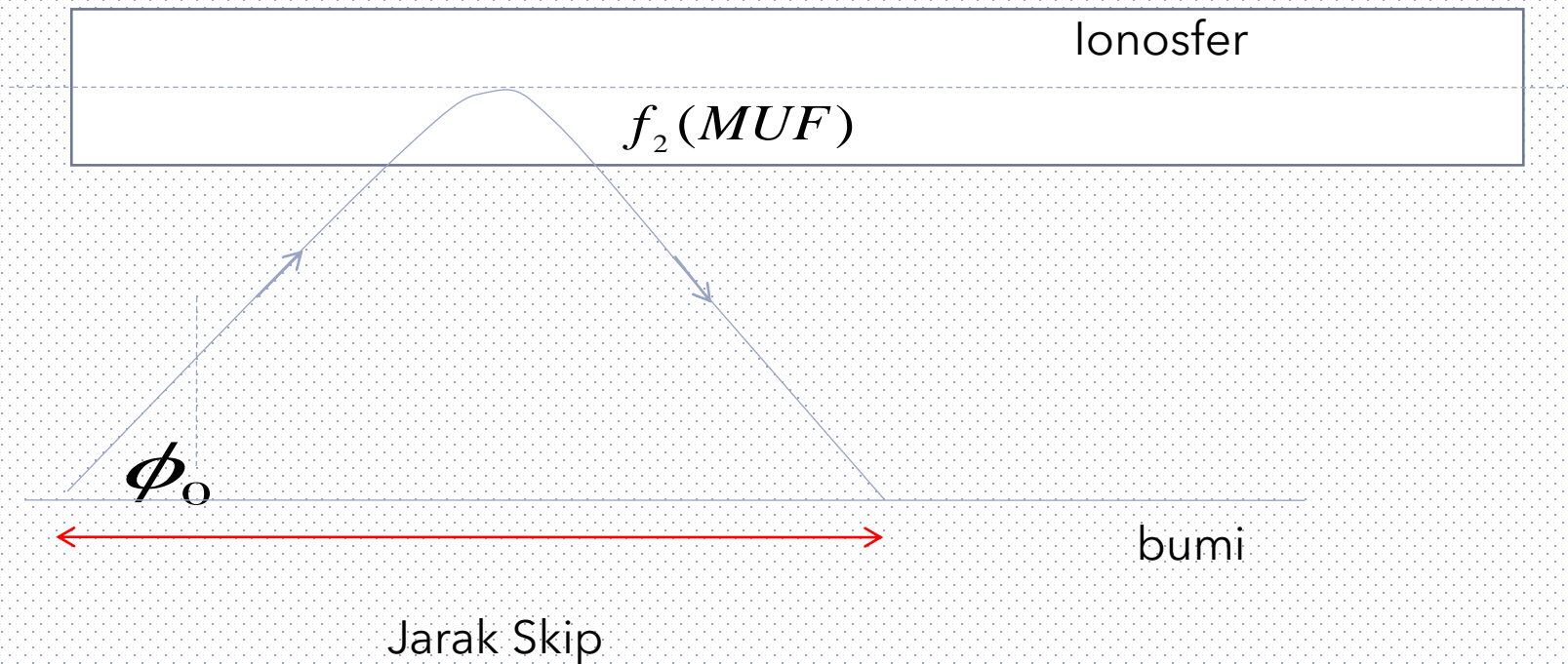


Maximum Usable Frequency (MUF)

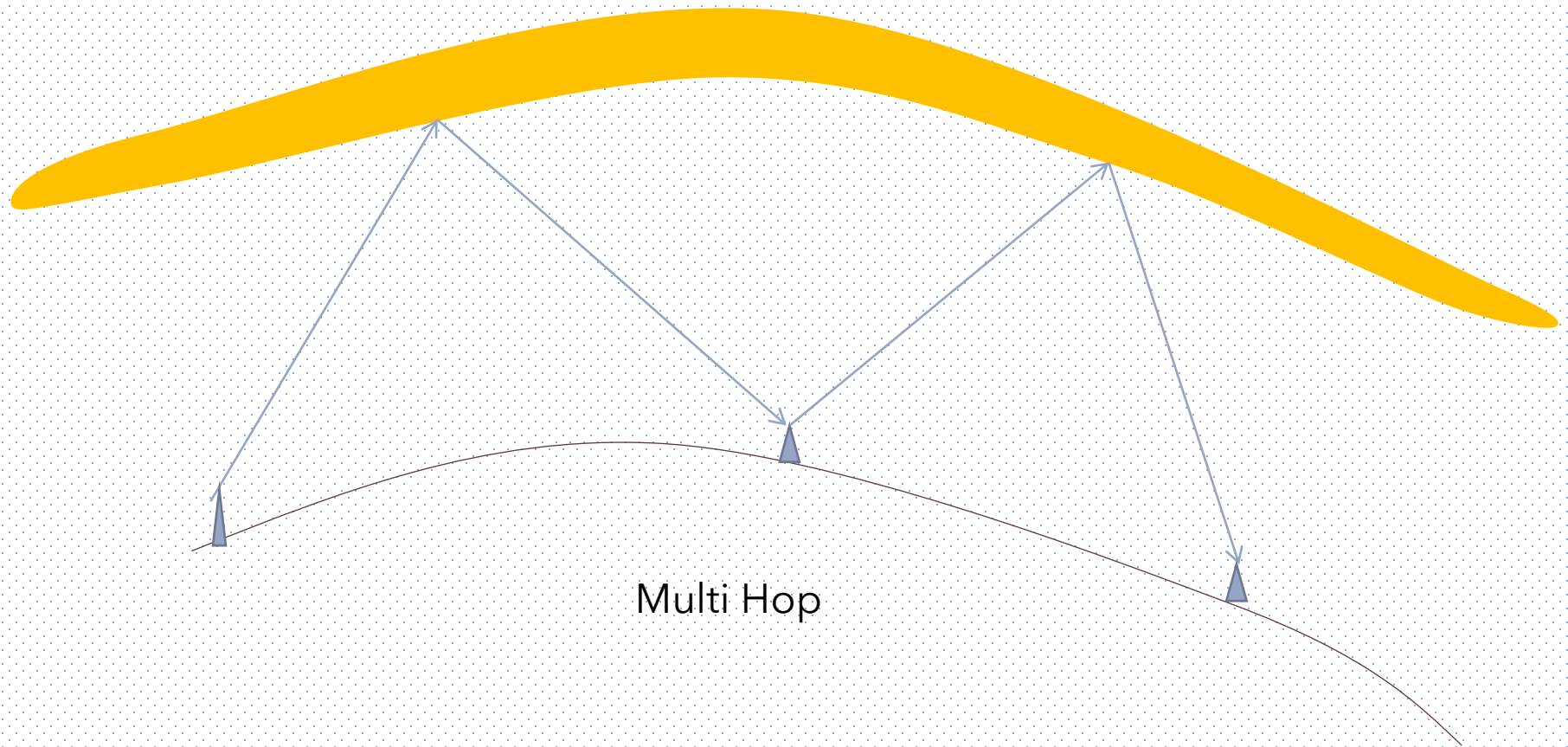
Pemantulan ionosfer



Jarak skip



Link gelombang langit



Multi Hop

Terima kasih